

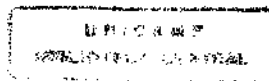
Rogério Cardoso de Castro

MECANISMO DE AÇÃO DE FOSFOLIPASES A₂
SECRETADAS NA REAÇÃO INFLAMATÓRIA AGUDA

*Dissertação de Mestrado, apresentada ao
Curso de Pós-Graduação em Farmacologia
da Faculdade de Ciências Médicas da
UNICAMP, para obtenção do Título de
Mestre em Ciências na área de
Farmacologia.*

Orientador: Prof. Dr. Edson Antunes

Campinas 1998



UNIDADE	BC
N.º CHAMADA:	
V.	E.
TI-MBO	BC/35468
PROG.	395/98
C []	D [X]
PAGO	R\$ 11,00
DATA	15/10/98
PN. JPD	

CM-00117151-6

**FICHA CATALOGRÁFICA ELABORADA PELA
BIBLIOTECA DA FACULDADE DE CIÊNCIAS MÉDICAS
UNICAMP**

C279m

Castro, Rogério Cardoso de

Mecanismo de ação de fosfolipases A2 secretadas na reação inflamatória aguda / Rogério Cardoso de Castro. Campinas, SP : [s.n.], 1998.

Orientador : Edson Antunes

Tese (Mestrado) Universidade Estadual de Campinas. Faculdade de Ciências Médicas.

I. Leucócitos. II. Inflamação. III. Fosfolipase. IV. Edema. I. Edson Antunes. II. Universidade Estadual de Campinas. Faculdade de Ciências Médicas. III. Título.



UNICAMP

Banca Examinadora da Dissertação de Mestrado

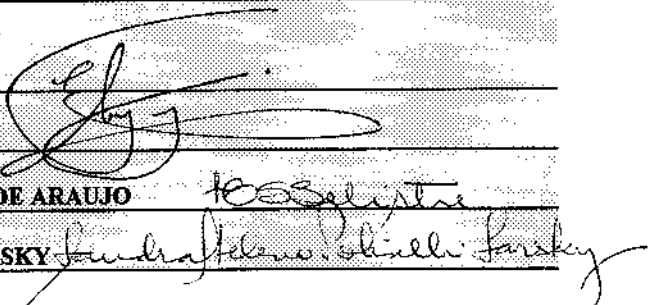
Orientador: PROF. DR. EDSON ANTUNES

Membros:

1. PROF. DR. EDSON ANTUNES

2. PROFA. DRA. HELOISA SOBREIRO SELISTRE DE ARAUJO

3. PROFA. DRA. SANDRA HELENA POLISELI FARSKY



Handwritten signatures of the three committee members: Edson Antunes, Heloisa Selistre de Araujo, and Sandra Helena Poliseli Farsky, placed over their respective names.

**Curso de Pós-Graduação em Farmacologia da Faculdade de Ciências Médicas
da Universidade Estadual de Campinas.**

Data: 31/07/98

*“Vivemos a civilização do conhecimento,
porém não da sabedoria. A sabedoria é o
conhecimento temperado pelo juízo”*

Arnold Toynbee (1889-1975)

Dedico este trabalho à minha esposa Ana Carla de Moliner que durante todo esse tempo foi companheira, carinhosa e compreensiva. A minha existência não teria nenhum sentido sem você. Te amo.

Aos meus pais Luis Carlos de Castro e Maria Lorice Cardoso de Castro e avós Gumercindo de Castro e Deolinda Tibiriçá de Castro que não se contentaram em me fornecer apenas amor, carinho e compreensão. Fizeram o possível e o impossível para realizarem meu sonho de estudar. Ao meu irmão Gustavo Cardoso de Castro pela felicidade na infância e juventude.

À MINHA FILHA HANNAH

Hannah, estás me ouvindo? Onde te encontres, levanta os olhos! Vês, Hannah? O sol vai rompendo as nuvens que se dispersam! Estamos saindo das trevas para a luz! Vamos entrando num mundo novo - um mundo melhor, em que os homens estarão acima da cobiça, do ódio e da brutalidade. Ergue os olhos, Hannah! A alma do homem ganhou asas e afinal começa a voar. Voa para o arco-íris, para a luz da esperança. Ergue os olhos, Hannah! Ergue os olhos!

Charles Chaplin (1988-1977)

Em meados deste século, Charles Chaplin sonhava tanto com um mundo melhor que chegava até a prometê-lo à sua mãe. Hoje, na entrada do século XXI, também gostaria de prometê-lo à minha filha Hannah. No entanto, mesmo com o alerta de grandes pensadores como Chaplin, a humanidade preferiu o caminho da cabiça, do ódio e da brutalidade. Um mundo melhor não posso prometer, mas ensinar minha filha que a esperança só morrerá junto com a humanidade é o meu dever.

O meio socialista foi abolido mas o desejo de se chegar a um fim socialmente mais justo permanecerá enquanto houver humanidade.

Rogério Cardoso de Castro

AGRADECIMENTOS

“A DEUS, OBRIGADO POR TUDO QUE O SENHOR ME CONCEDEU NESTA VIDA”

A epígrafe do início representa minha filosofia de vida. Mas, além disso, representa uma sincera homenagem ao meu orientador prof. Dr. Edson Antunes. Acima de seu grande conhecimento científico, de sua grande capacidade e honestidade, está sua sabedoria. Te considero um grande sábio por conseguir manter sua humildade mesmo com todo seu conhecimento. Obrigado por tudo que me ensinastes com competência, carinho, paciência e educação.

À Elen Cristina T. Landucci que não se contentou em ser apenas minha co-orientadora e preferiu se comportar como uma verdadeira mãe. A você, que me presenteou com este sentimento tão nobre, só me resta agradecer com um muito obrigado tão sincero quanto o amor de um filho pela sua mãe.

Ao Dr. Gilberto de Nucci que, entre outras coisas, me permitiu a maravilhosa experiência de conhecer um laboratório no exterior. Não há como expressar o tamanho de minha gratidão e de meu respeito por você.

À minha tia Maria Laudenir Cardoso Soares de Oliveira (Lau) que é uma das maiores responsáveis pelas minhas conquistas. Sem dúvida você representa a luz que Deus colocou em meu caminho. Ao meu avô José Luis Cardoso (*in memoriam*) e à minha avó Olinda Teixeira Cardoso.

À Soraia Katia Pereira Costa pela forte amizade e incondicional (fundamental) ajuda em Londres. Aprendi muito com você. Admiro profundamente suas conquistas. Às grandes amigas Marta Valéria Medeiros e Sisi Marcondes que sempre se dispuseram a me prestar qualquer tipo de ajuda. Sou eternamente grato à vocês.

Às amigas Heloisa H. A. Ferreira e Renata Zanardo pela ajuda na realização da técnica de migração celular *in vitro*.

Ao Dr. Mauro Perreti e seus alunos pela forma carinhosa e gentil com a qual me receberam em vosso laboratório no William Harvey Research Institute (Londres).

Aos meus grandes amigos André Gonzaga dos Santos, José Lídio Alves dos Santos, Marcelo Alves Paulino e Marcos Roberto da Cruz Pires. Além das ajudas incondicionais, aprendi muito com vocês.

Aos amigos Aldete, Alice, Ana Maria, Angelina, Anicletô, Cláudia, Cléber, Donato, Edmar, Flávio, Herick, Iramaia, José Eduardo, Leonardo, Lúcia, Luciana Bizeto, Luciana Nathan, Marcelo, Maura, Nicola, Pamela, Renato, Renata Pereira, Rita, Ronilson, Simone, Sócrates, Sônia, Toninho, Veridiana, Wellington e Wladimir pela colaboração na parte técnica e, principalmente, pela grande amizade.

Aos docentes da farmacologia da FCM e, em especial, aos Drs. Heitor Moreno Jr. e Stephen Hyslop pela amizade e ajuda técnica.

Aos funcionários Aguinaldo, Alessandra, Rita, Gislaine, Evandro, Miguel, Adilson e, especialmente, à Maria das Dores Ponciano e ao Paulo Sérgio de Oliveira pela ajuda nos momentos de necessidades.

Ao saudoso Dr. Carlos Alberto Flores (*in memorian*). Te conhecer foi um grande privilégio. Não esquecerei de seu pensamento científico jamais.

Aos professores Dr. José R. Giglio (Dept. de Bioquímica da Faculdade de Medicina de Ribeirão Preto, USP) e Dr. Benedito Oliveira (Dept. de Bioquímica do Instituto de Biologia, UNICAMP) e ao doutorando Marcos H. Toyama pelo fornecimento das bothropstoxinas e da piratoxina-I utilizadas neste trabalho.

Aos animais que involuntariamente doaram suas vidas para o benefício da humanidade, o meu profundo respeito.

À Fundação de Amparo à Pesquisa do Estado de São Paulo (FAPESP), pelo apoio financeiro.

SUMÁRIO

LISTA DE ABREVIAÇÕES	xi
ABREVIAÇÕES PARA AMINOÁCIDOS	xii
LISTA DE MATERIAIS	xiii
RESUMO	xiv
1. INTRODUÇÃO	
1.1 Considerações Gerais	1
1.2 Fosfolipases A ₂ (PLA ₂ s)	2
1.3 Fosfolipases A ₂ secretadas e o processo inflamatório	5
1.4 Objetivo	10
2. MÉTODOS	
2.1 Animais	11
2.2 Edema de pata	11
2.3 Edema de pele	11
2.4 Pleurisia	12
2.5 Depleção dos estoque de histamina e 5-HT	13
2.6 Degranulação de mastócitos	13
2.7 Purificação da BthTX-I e da BthTX-II	14
2.8 Purificação da PrTX-I	14
2.9 Tratamento das BthTXs e PrTX-I com ρ -BPB	15
2.10 Tratamentos	16
2.11 Análise estatística	16
3. RESULTADOS	
3.1 Edema de pata e pele	17
3.2 Degranulação <i>in vitro</i> de mastócitos pleurais e peritoneais	21
3.3 Pleurisia	25
4. DISCUSSÃO	42
5. SUMMARY	49
6. REFERÊNCIAS BIBLIOGRÁFICAS	51

ÍNDICE DE FIGURAS E TABELAS

FIGURA 1	18
FIGURA 2	19
FIGURA 3	20
FIGURA 4	22
FIGURA 5	23
FIGURA 6	24
FIGURA 7	26
FIGURA 8	27
FIGURA 9	28
FIGURA 10	29
FIGURA 11	31
FIGURA 12	32
FIGURA 13	33
FIGURA 14	34
FIGURA 15	35
FIGURA 16	36
TABELA 1	37
TABELA 2	38
TABELA 3	40
TABELA 4	41

LISTA DE ABREVIACÕES

ρ -BPB	Brometo de ρ -bromofenacil
[^{14}C]5-HT	Serotoninina marcada
5-HT	Serotoninina
AA	Ácido araquidônico
AUC	Área sobre a curva
BSA	Soro albumina bovina
BthTX-I	Bothropstoxina-I
BthTX-II	Bothropstoxina-II
CGRP	Peptídeo relacionado ao gene da calcitonina
EDTA	Ácido etileno diamino tetra-acético
i.p.	Intraperitoneal
KRP	Tampão Krebs-Ringer fosfatado
LTB ₄	Leucotrieno B ₄
LBC ₄	Leucotrieno C ₄
PAF	Fator de ativação plaquetária
PBS	Tampão salina fosfato
PGE ₂	Prostaglandina E ₂
PLA ₂ s	Fosfolipases A ₂
cPLA ₂	Fosfolipase A ₂ citosólica ou intracelular
sPLA ₂	Fosfolipase A ₂ secretada ou extracelular
rPLA ₂	Fosfolipase A ₂ recombinante do grupo II
POPOP	1,4-Di-2-4-metil(5-feniloxazole)-benzeno
PPO	2,5-Difenil-oxazole
PrTX-I	Piratoxina-I
TNF	Fator de Necrose Tumoral
TRIS	Hidroxi-metil-amino-metano
TxB ₂	Tromboxano B ₂

ABREVIACÕES PARA AMINOÁCIDOS

AMINOÁCIDOS	ABREVIAÇÃO ^a (3 letras)	SÍMBOLO ^a (1 letra)
ÁCIDO ASPÁRTICO	Asp	D
ÁCIDO GLUTÂMICO	Glu	E
ALANINA	Ala	A
ARGININA	Arg	R
ASPARAGINA	Asn	N
CISTEÍNA	Cys	C
FENILALANINA	Phe	F
GLICINA	Gly	G
GLUTAMINA	Gln	Q
HISTIDINA	His	H
ISOLEUCINA	Ile	I
LEUCINA	Leu	L
LISINA	Lys	K
METIONINA	Met	M
PROLINA	Pro	P
SERINA	Ser	S
TIROSINA	Tyr	Y
TREONINA	Thr	T
TRIPTOFANO	Trp	W
VALINA	Val	V

^a Segundo nomenclatura IUPAC

LISTA DE MATERIAIS

SUBSTÂNCIA	PROCEDÊNCIA
Albumina	Pharmacia (Uppsala, Suécia)
Azul de Evans	Merck (Darmstadt, Alemanha)
Brometo de ρ -bromofenacil	Sigma (St. Louis, EUA)
Carbonato de sódio	Merck (Rio de Janeiro, Brasil)
Ciproheptadina	Sigma (St. Louis, EUA)
Cloreto de potássio	Merck (Rio de Janeiro, Brasil)
Cloreto de sódio	Merck (Rio de Janeiro, Brasil)
Composto 48/80	Sigma (St. Louis, EUA)
Éter etílico	Chemco (Campinas, Brasil)
Heparina sódica	Roche (São Paulo, Brasil)
May Grünwald	Diff-Quick (Baxter, EUA)
PLA ₂ do veneno de <i>Naja naja</i>	Sigma (St. Louis, EUA)
PLA ₂ pancreática bovina	Sigma (St. Louis, EUA)
POPOP	Sigma (St. Louis, EUA)
PPO	Sigma (St. Louis, EUA)
Sagatal	Rhône Mérieux (Dublin, Irlanda)
Sais para tampão	Merck (Rio de Janeiro, Brasil)
Serotonina marcada ¹⁴ C	Amersham (U.K.)
Soro albumina marcada I ¹²⁵	Amersham (U.K.)

RESUMO

Bothropstoxina-I (BthTX-I) e Bothropstoxina-II (BthTX-II) são sPLA₂s homólogas com atividade miotóxica isoladas do veneno de *Bothrops jararacussu*. A primeira é completamente destituída de atividade enzimática *in vitro* ao passo que a BthTX-II apresenta atividade fosfolipásica muito baixa. Piratoxina-I (PrTX-I) é uma sPLA₂ homóloga com atividade miotóxica isolada do veneno de *Bothrops pirajai*. Esta sPLA₂ também é destituída de atividade enzimática. O objetivo deste estudo foi investigar a atividade edematógena da PrTX-I em pata e pele de ratos. Também avaliamos a participação do sítio catalítico e do conteúdo de cargas catiônicas presentes nesta sPLA₂ sobre o aumento de permeabilidade vascular. Em uma segunda etapa, o objetivo foi investigar a capacidade da PrTX-I, BthTX-I e BthTX-II de induzir migração leucocitária comparado com a sPLA₂ do veneno de *Naja naja* (atividade enzimática alta) e sPLA₂ pancreática (atividade enzimática intermediária). O envolvimento de mastócitos na migração leucocitária induzida pelas sPLA₂ homólogas também foi investigado.

O edema de pata foi induzido pela injeção subplantar da PrTX-I na pata posterior esquerda dos animais e o volume da pata foi determinado utilizando um hidropletismômetro. O edema de pele foi determinado pelo acúmulo local de albumina humana marcada com ¹²⁵I administrada por via intravenosa em ratos anestesiados (Sagatal; 30 mg/kg, i.p.). A degranulação de mastócitos pleurais e peritoneais foi conduzida pela determinação da liberação de [¹⁴C]5-HT utilizando um contador β.

A migração leucocitária foi determinada através da injeção das sPLA₂s na cavidade pleural de ratos anestesiados com éter. Os animais foram sacrificados nos intervalos de 6, 12 e 48 h e a cavidade pleural foi lavada com 5 ml de PBS heparinizado (10 UI/ml). A contagem total e diferencial de leucócitos foi avaliada no lavado pleural.

A PrTX-I promoveu aumento de permeabilidade vascular em pele e pata de rato levando à formação de edema. A atividade edematógena nos dois locais foi praticamente abolida nos animais pré-tratados com ciproheptadina (2 mg/kg, i.p. 0.5 h antes). O ρ-BPB reduziu acentuadamente o edema induzido pela PrTX-I em pata e pele de ratos. O polianion heparina reduziu significativamente o edema de pata (50 UI/pata), como também o edema de pele (5 UI/sítio) induzidos pela PrTX-I. Além disso, a PrTX-I (100 µg/ml) causou degranulação de mastócitos pleurais e peritoneais *in vitro*. O ρ-BPB e a heparina (50 UI/ml) inibiram significativamente a liberação de [¹⁴C]5-HT induzida pela PrTX-I em mastócitos pleurais e peritoneais de rato.

Nossos resultados indicam que a formação de edema induzido pela PrTX-I é devido à degranulação *in vivo* de mastócitos. Uma vez que a PrTX-I não é ativa enzimaticamente sugerimos que a atividade pró-inflamatória das sPLA₂s não está, necessariamente, ligada à atividade enzimática destas enzimas. Assim, sugerimos que o efeito da PrTX-I deva ser decorrente de um possível sítio farmacológico que seria formado principalmente por cargas catiônicas distribuídas na molécula da PrTX-I. Além disso, nós sugerimos cautela quanto ao uso do brometo de ρ -bromofenacil como ferramenta para avaliar o papel da atividade enzimática nos efeitos farmacológicos induzidos pelas sPLA₂s.

A sPLA₂ de *Naja naja* (10 µg/cavidade) e BthTX-II (30 µg/cavidade) induziram influxo leucocitário de forma dose e tempo-dependentes caracterizado pela infiltração de neutrófilos e células mononucleares em 6 h. Na pleurisia induzida pela sPLA₂ de *Naja naja* esta migração foi acompanhada por uma migração de eosinófilos em 12 h. Na pleurisia induzida pela BthTX-I e PrTX-I (30 µg/cavidade cada) o pico de infiltração celular foi em 12 h e formado, tanto por células mononucleares e neutrófilos, como também por eosinófilos. O brometo de ρ -bromofenacil (ρ -BPB), um inibidor enzimático das sPLA₂s, aboliu a atividade enzimática da sPLA₂ de *Naja naja* e BthTX-II mas não apresentou efeito na pleurisia induzida pela sPLA₂ de *Naja naja*, BthTX-I e BthTX-II. Surpreendentemente, o ρ -BPB reduziu parcialmente a pleurisia induzida pela PrTX-I. O tratamento prévio dos animais com ciproheptadina (10 mg/Kg, i.p.) não modificou a pleurisia induzida pela sPLA₂ de *Naja naja* e BthTX-II. A depleção dos estoques de histamina/5-HT por injeções repetidas do composto 48/80 também não alterou a pleurisia induzida pelas BthTXs e PrTX-I. Nossos resultados demonstram que a migração leucocitária induzida pela sPLA₂ de *Naja naja*, BthTX-I, BthTX-II e PrTX-I independe da degranulação de mastócitos pleurais. Além disso, a hidrólise de fosfolipídeos por estas sPLA₂s não é essencial para a infiltração leucocitária para cavidade pleural.

1. INTRODUÇÃO

1.1. CONSIDERAÇÕES GERAIS

O processo inflamatório representa a resposta do organismo a estímulos lesivos. A característica fundamental do processo inflamatório é manifestar-se de maneira estereotípada, isto é, a resposta obedece a um padrão semelhante independente da natureza do estímulo lesivo. Variações podem ocorrer dependendo do agente lesivo, das características do tecido ou órgão afetados, da espécie animal e da coexistência de estados patológicos (Garcia-Leme, 1989).

Uma variedade de substâncias, denominadas de mediadores da inflamação, é formada e liberada concomitante ou sequencialmente no local da lesão. Estes mediadores originam-se a partir do plasma ou de uma variedade de tipos celulares tais como células endoteliais, mastócitos, macrófagos e leucócitos. Os mediadores de origem plasmática incluem fatores do sistema complemento (C3a, C5a) e cininas, os quais são gerados por ativação enzimática. Os mediadores de origem celular incluem a histamina e serotonina (oriundos de mastócitos e basófilos), prostaglandinas, prostaciclina, tromboxanos e leucotrienos (originados da cascata do ácido araquidônico em vários tipos celulares), fator de agregação plaquetária (células endoteliais, leucócitos, etc), citocinas (TNF e diversas interleucinas oriundas principalmente de leucócitos mononucleares), substância P e CGRP (neuropeptídeos liberados de terminações nervosas não-adrenérgicas não-colinérgicas no sítio inflamatório) e óxido nítrico (oriundo de diversas fontes incluindo endotélio, leucócitos e terminação nervosa não-adrenérgica não-colinérgica).

Imediatamente após o início do processo inflamatório, ocorrem eventos de origem vascular caracterizados por aumento de fluxo sanguíneo na área lesada (eritema ou rubor) causando, consequentemente, elevação da temperatura local (calor). O aumento da permeabilidade em vênulas pós-capilares ocasiona o extravasamento de proteínas para o espaço intersticial o qual, somado ao aumento da pressão hidrostática de filtração (devido à vasodilatação) e pressão osmótica intersticial (devido ao acúmulo de proteínas) leva à formação de edema (tumor).

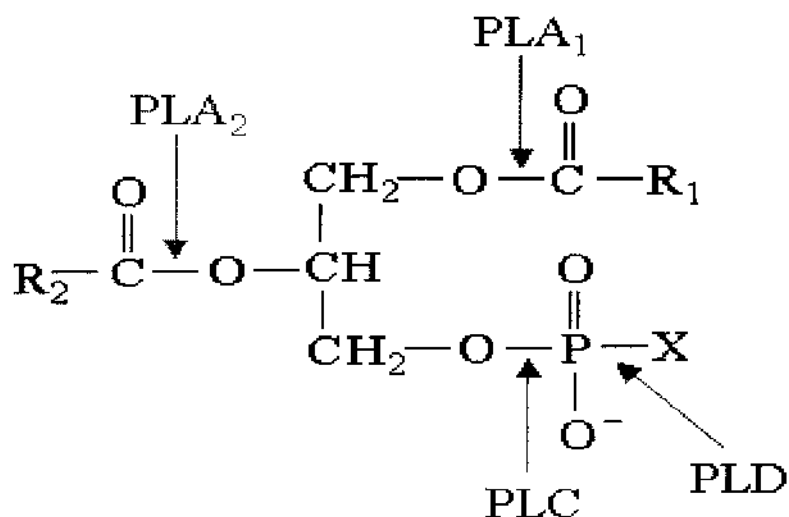
Ao lado dos eventos vasculares, os fenômenos celulares da reação inflamatória são muito importantes, uma vez que representam os principais mecanismos pelos quais o organismo "neutraliza" os agentes lesivos e repara o tecido danificado. As células envolvidas nesta resposta são as chamadas células residentes (células endoteliais, mastócitos, células mononucleares residentes) e

células que chegam ao foco inflamatório provenientes do sangue (neutrófilos, eosinófilos, basófilos, monócitos e linfócitos).

Deve-se ressaltar, ainda, que em um processo inflamatório ocorrem, concomitantemente, eventos que se contrapõem aos efeitos da inflamação. São mecanismos que ocorrem no sentido de impedir a evolução da resposta inflamatória. O sistema mais conhecido de supressão da reação inflamatória é a ativação do eixo hipotálamo-hipófise-adrenal que, uma vez ocorrido, leva à liberação de glicocorticoides do córtex das glândulas adrenais. Os glicocorticoides possuem efeitos imunossupressores e antiinflamatórios e, indiretamente, inibem a fosfolipase A₂.

1.2. FOSFOLIPASES A₂ (PLA₂s)

As fosfolipases são enzimas que catalisam a hidrólise, em quatro diferentes posições, dos fosfoglicerídeos (lipídeos formados pela esterificação de dois ácidos graxos na primeira e segunda hidroxila do glicerol e de um grupamento fosfórico na terceira hidroxila), conforme mostra a figura abaixo:



R₁ - Ácidos graxos saturados (principalmente C₁₆ e C₁₈)

R₂ - Predominantemente ácidos graxos insaturados (principalmente C_{20,4})

X - Grupo cabeça polar (colina, etanolamina serina ou inositol)

Dependendo da posição da hidrólise, as fosfolipases recebem diferentes designações. As fosfolipases A₂ (PLA₂s; fosfatidil-acil-hidrolases; EC 3.1.1.4) atuam na posição sn-2 da ligação acil-

éster de 3-sn-fosfoglicerídeos gerando, como produtos desta hidrólise, quantidades equimolares de um ácido graxo e de um monoacilfosfatidil (lisofosfatidil).

A existência das PLA₂s foi demonstrada no início do século quando se observou que a incubação de fosfatidilcolina com suco pancreático de mamíferos ou com venenos de cobra resultava na formação de ácidos graxos (Wittcoff, 1951). A partir de então, a atividade enzimática de PLA₂s vem sendo descrita na maioria dos venenos ofídicos (Yang, 1994). Estas PLA₂s apresentam alta homologia sequencial e estrutural e estão evolutivamente relacionadas (Davidson & Dennis, 1990). São enzimas de baixo peso molecular (14 a 18 kDa), sendo divididas em três grandes grupos (I, II e III) baseado na sequência de aminoácidos que possuem (Heinrikison *et al.*, 1977; Davidson & Dennis, 1990). O grupo I compreende as PLA₂s de pâncreas de mamíferos e dos venenos de cobras das famílias *Elapidae* e *Hydrophidae*. O grupo II compreende as PLA₂s dos venenos de *Crotalidae* e *Viperidae*. O grupo III é representado pelas PLA₂s provenientes dos venenos de vespas e abelhas. Todas essas enzimas são dependentes de cálcio para sua ativação. Os resíduos que participam da alça de ligação para os íons Ca⁺⁺ nas PLA₂s clássicas são Tyr-28, Gly-30, Gly 32 e Asp-49. A unidade catalítica é formada por His-48, Asp-99 e uma molécula de água (Renetseder *et al.*, 1985; Scott *et al.*, 1990).

As PLA₂s de venenos e de pâncreas de mamíferos passaram a ser denominadas de PLA₂s secretadas (sPLA₂s) porque, a partir de 1934, observou-se a existência de PLA₂ em outros tecidos de mamíferos, além do pâncreas. Estas PLA₂s foram identificadas como PLA₂ intracelulares as quais, na maioria da vezes, estão associadas às membranas plasmáticas ou membranas de organelas citoplasmáticas (Van Den Bosch, 1980). Mais tarde, a maioria destas PLA₂s intracelulares foram caracterizadas como enzimas de alto peso molecular (Glaser *et al.*, 1993). Estas PLA₂s, atualmente conhecidas como PLA₂s citosólicas (cPLA₂), diferem das sPLA₂s não só pelo peso molecular como também pelos sítios de ação, pelo requerimento de Ca⁺⁺ (atividade máxima em doses micromolares de Ca⁺⁺) e pela especificidade por fosfoglycerídeos que possuem o ácido araquidônico em sua posição sn-2 (Glaser *et al.*, 1993). Algumas cPLA₂s mostraram-se independentes de Ca⁺⁺, mas também específicas pelo ácido araquidônico na posição sn-2 dos fosfoglycerídeos (Hazen *et al.*, 1990).

Desde a década de 80, uma outra PLA₂ extracelular vem sendo identificada em doenças inflamatórias humanas incluindo a atrite reumatóide (Pruzanski *et al.*, 1985), psoriase (Foster *et al.*, 1985), choque séptico causado por bactérias gram-negativas (Vadas *et al.*, 1988), pancreatite aguda (Formela *et al.*, 1995) e outros. Esta PLA₂ foi denominada PLA₂ secretada não-pancreática e incluída no grupo II devido às suas propriedades bioquímicas. O gene desta enzima já foi descrito (Seilhamer *et al.*, 1989) e sua forma recombinante desenvolvida (Kramer *et al.*, 1989). Tem sido

demonstrado que a interleucina-1 (IL-1) e o fator de necrose tumoral (TNF- α) induzem a expressão desta forma da sPLA₂. Vários elementos como plaquetas (Kramer *et al.*, 1989), leucócitos (Marshall & Roshak, 1993) e condrócitos (Lyons-Giordano *et al.*, 1989) foram identificados como fontes desta enzima.

Atualmente, todas as PLA₂s são classificadas em quatro diferentes grupos, conforme mostra a tabela abaixo (Dennis *et al.*, 1994). Os grupos I, II e III são os tradicionais grupos das PLA₂s secretadas e o grupo IV inclui a PLA₂ de alto peso molecular, a cPLA₂. Além disso, um quinto grupo está sendo proposto para incluir as cPLA₂s que não requerem Ca⁺⁺ para sua atividade.

Grupo	Fonte	Localização	Tamanho (kDa)	Ca ²⁺
Grupo I	Pâncreas de mamíferos e veneno de serpentes das famílias Elapidae e Hydrophidae	Secretada	13-15	mM
Grupo II	Não-pancreática humana, veneno de serpentes das famílias Crotalidae e Viperidae	Secretada	13-15	mM
Grupo III	Veneno de abelhas e vespas	Secretada	16-18	mM
Grupo IV	Células de mamíferos	Citosólica	85	μ M
Grupo V	Células miocárdicas humanas e caninas	Citosólica	40	Não requer

No grupo II, particularmente, encontram-se as sPLA₂s denominadas miotoxinas. Estas sPLA₂s são enzimas com atividade miotóxica purificadas do veneno de serpentes do gênero *Bothrops*. Algumas miotoxinas são desprovidas de atividade enzimática devido à substituição do Asp-49 presente na região da molécula responsável pela ligação ao Ca⁺⁺. Nesta posição, estas sPLA₂s apresentam um resíduo de Lys e, assim, são denominadas de sPLA₂s Lys-49 (Gutiérrez & Lomonte, 1995).

1.3. FOSFOLIPASES A₂ SECRETADAS E O PROCESSO INFLAMATÓRIO

As observações, na década de 70, de que o ácido araquidônico é encontrado predominantemente esterificado na posição sn-2 de fosfolipídeos levaram a um estudo sistemático destas enzimas, uma vez que as mesmas são fundamentais para mobilização deste ácido graxo e a consequente biossíntese de mediadores lipídicos pró-inflamatórios por ação da ciclooxigenase, da 5-lipoxigenase e das enzimas que levam à formação do PAF (Flower & Blackwell, 1976).

A capacidade das sPLA₂s causarem inflamação foi primeiramente demonstrada quando observou-se que sPLA₂s ofídicas provocavam edema de pata de rato (Brain *et al.*, 1977) e degranulação de mastócitos *in vivo* (Damerau *et al.*, 1975). Estudos posteriores propuseram que o edema induzido por estas sPLA₂s não dependia somente da ação da histamina e serotonina, mas também de prostaglandinas e cininas. A ação conjunta de todos esses autacóides na microcirculação local seria a causa da formação de edema (Ohsaka *et al.*, 1979; Bonta *et al.*, 1979).

Contudo, os estudos dos efeitos pró-inflamatórios destas enzimas foram impulsionados somente a partir de 1985 quando descreveu-se a forma humana extracelular não-pancreática em fluidos de articulações artríticas (Vadas *et al.*, 1985). Desde então, muitos estudos têm sido realizados com a finalidade de elucidar o papel da sPLA₂ na inflamação através do uso das sPLA₂s purificadas de pâncreas de mamíferos ou de venenos de serpentes (Pruzanski *et al.*, 1986; Cirino *et al.*, 1989; Vadas *et al.*, 1989; Moreno *et al.*, 1992).

Em 1987, Vishwanath *et al.* demonstraram a preocupação de estabelecer se a atividade pró-inflamatória destas enzimas era ou não decorrente da atividade catalítica das mesmas. Assim, estes autores estudaram o edema de pata e degranulação de mastócitos induzidos por três sPLA₂s purificadas do veneno de Habu (*Trimeresurus flavoviridis*). Para tanto, usaram o ácido aristolóquico, alcalóide de origem vegetal capaz de inibir a atividade catalítica das sPLA₂s. Os resultados mostraram que, apesar deste alcalóide inibir a atividade catalítica *in vitro* das três PLA₂, a inibição do edema de pata de camandungos foi verificada somente com uma delas. Dessa forma, estes autores foram os primeiros a sugerir a existência de dois sítios distintos nestas enzimas sendo um responsável pela atividade catalítica e outro pelas atividades farmacológicas, independentes de ação enzimática. Apesar disto, estes mesmos autores demonstraram mais tarde que o edema de pata induzido pela sPLA₂ purificada de fluido sinovial humano é totalmente devido à sua atividade catalítica (Vishwanath *et al.*, 1988).

Em 1989, Cirino *et al.* estudaram o edema de pata de rato causado por sPLA₂s purificadas dos venenos de *Naja mocambique mocambique*, *Vipera russeli*, *Apis mellifera* e sPLA₂ pancreática porcina. A atividade edematogênica destas enzimas foi caracterizada como sendo de início rápido

(aproximadamente 5 minutos) atingindo-se a resposta máxima em 90 minutos. As sPLA₂s purificadas dos venenos foram mais potentes do que a pancreática porcina o que poderia refletir as propriedades líticas dessas enzimas, ou seja, a sPLA₂ pancreática porcina apresenta baixa atividade catalítica e, por isso, pequena atividade edemato-gênica em relação às outras três. Por outro lado, os autores demonstraram que, apesar de não ser a mais ativa enzimaticamente, a sPLA₂ do veneno de *Naja mocambique mocambique* apresentou a maior atividade edemato-gênica. Foi também observado que o tratamento dessas enzimas com o brometo de ρ -bromofenacil (inibidor do sítio ativo de sPLA₂) inibiu somente o edema induzido pela PLA₂ do veneno de *Naja macambique mocambique*. No edema induzido por esta sPLA₂, em particular, os autores testaram drogas tais como a metisergida (antagonista de receptores de serotonina), mepiramina (antagonista do receptor H₁ da histamina), BW755C (inibidor duplo de ciclo e lipoxigenase), indometacina (inibidor da ciclooxygenase), dexametasona (inibidor da PLA₂), BN52021 e WEB2086 (antagonistas de receptores do PAF). Destas drogas, somente a metisergida e a dexametasona foram capazes de inibir significativamente o edema. Assim, concluíram que, neste caso, o edema dependente da ação da serotonina proveniente da degranulação de mastócitos à semelhança de outras sPLA₂s. Estes resultados estão também de acordo com aqueles obtidos por Moreno *et al.* (1992) que demonstraram que o edema de pele em ratos induzido pela sPLA₂ do veneno de *Naja naja* em ratos é dependente dos mediadores liberados de mastócitos o qual é, por sua vez, dependente da atividade enzimática desta enzima.

Lloret *et al.* (1993) concluíram que a atividade edemato-gênica das sPLA₂s está ligada à sua atividade enzimática. Tal conclusão está baseada em um estudo onde estes autores empregaram quatro diferentes sPLA₂s e demonstraram que a que PLA₂ que apresentou maior potência edemato-gênica é a sPLA₂ mais ativa enzimaticamente.

Na tentativa de explicar os resultados contraditórios em relação às atividades farmacológicas e enzimáticas das sPLA₂s purificadas de veneno, Kini & Evans (1989) formularam um modelo hipotético para descrever os efeitos farmacológicos induzidos por sPLA₂s de venenos. O primeiro ponto, que serve de suporte para este modelo, é o fato que, a despeito da alta homologia estrutural destas enzimas, a variedade de efeitos farmacológicos apresentados pelas mesmas em animais de laboratório, é muito grande. Um segundo aspecto é que muitos desses efeitos tais como neurotoxicidade, cardiototoxicidade, mionecrose, hipotensão, indução de edema e outros, não se correlacionam com atividade catalítica dessas sPLA₂s. A característica essencial do modelo é a possível existência de sítios alvos (“receptores”) para diferentes sPLA₂s. Estes “receptores” seriam proteínas (ou glicoproteínas) localizadas em alguns tecidos ou células (na superfície celular) os quais “reconheceriam” um sítio farmacológico específico localizado na estrutura das moléculas das sPLA₂s. Este “reconhecimento” ocorre de acordo com a distribuição e conformação espacial da

densidade de cargas e da hidrofobicidade, o que determinaria a ligação de uma sPLA₂ com uma célula alvo específica. Somente após esta ligação específica, a sPLA₂ poderia ou não hidrolisar fosfolipídeos “vizinhos” ao sítio alvo. Ressalta-se também a diferença de afinidade que estas sPLA₂s apresentam em relação à hidrólise de fosfatidilcolina, fosfatidilserina, fosfatidiletanolamina e fosfatidilinositol. Os produtos da hidrólise destas enzimas (lisofosfolipídeos e ácidos graxos) poderiam ou não participar dos efeitos farmacológicos destas enzimas. De fato, Lambeau *et al.* (1989) foram os primeiros autores a demonstrar a existência de um sítio específico para sPLA₂s ofídicas em membrana neuronal de cérebro de rato. Demonstraram que este sítio é uma proteína (receptor) capaz de se ligar à diferentes sPLA₂s neurotóxicas entre elas a taipoxina, notexina, crotoxina (componente B) e uma sPLA₂ purificada do veneno de *Oxyuranus scutellatus* (OS₂). De acordo com o modelo proposto por Kini & Evans, não houve correlação entre a atividade enzimática e a pontência de ligação ao receptor, apenas entre neurotoxicidade e ligação ao receptor. Posteriormente foi demonstrada a existência de outros sítios de ligação para sPLA₂s em diferentes tecidos (Lambeau *et al.*, 1990; 1991a ; 1991b). Atualmente, o gene para o receptor da sPLA₂ em humanos já foi identificado (Ancian *et al.*, 1995). Este receptor é uma proteína de 180 KDa com uma região N-terminal extracelular, oito domínios repetidos de reconhecimento de carboidratos, uma porção transmembrana e outra região C-terminal intracelular e possui maior afinidade pela sPLA₂ humana do grupo II. Por outro lado, paralelamente a estes estudos, alguns autores vêm sugerindo a participação da sPLA₂ pancreática em processos fisiológicos tais como contração de músculo liso vascular (Nakajima *et al.*, 1992) e proliferação celular (Arita *et al.*, 1991). Assim, estes autores caracterizaram e demonstraram a existência de receptores da sPLA₂ pancreática em vários tipos celulares (Hanasaki *et al.*, 1992).

Levando em consideração o modelo hipotético de ação das sPLA₂s descrito acima, Wang & Teng (1990) conduziram um estudo comparativo de edema de pata e degranulação de mastócitos peritoneais de rato induzidos por duas sPLA₂s: PLA₂ do veneno de *Naja naja atra* (PLA₂ ácida) e PLA₂ do veneno de *Trimeresurus mucrosquamatus* (PLA₂ básica). De modo geral, as sPLA₂s básicas são farmacologicamente mais potentes do que as ácidas (Rosenberg *et al.*, 1979). Acredita-se que isso seja devido às propriedades catiônicas destas enzimas uma vez que as sPLA₂s básicas apresentam maior número de sítios positivos do que as sPLA₂s ácidas. De fato, a sPLA₂ de *T. mucrosquamatus*, apesar de menos ativa enzimaticamente, foi mais potente do que a sPLA₂ de *Naja naja atra* na indução de edema. Estes autores também demonstraram que a heparina (um polianion que previne a degranulação de mastócitos por policátions) foi capaz de suprimir somente o edema induzido pela PLA₂ básica. Com relação ao brometo de ρ -bromofenacil, substância capaz de bloquear a atividade enzimática das sPLA₂s, observou-se que o mesmo inibiu os efeitos de ambas

PLA₂s. A combinação de heparina e tratamento com brometo de ρ -bromofenacil preveniu totalmente o edema induzido pela sPLA₂ básica de *T. mucrosquamatus*. Estes autores sugerem que as diferentes sPLA₂s podem induzir efeitos pró-inflamatórios por, pelo menos, três diferentes mecanismos: i) atividade enzimática, ii) quantidade de sítios positivos na molécula e iii) presença de um sítio farmacológico com participação de resíduos positivos.

Choi *et al.* (1989) e Nagai *et al.* (1991) demonstraram que a degranulação de mastócitos peritoneais induzida pela sPLA₂ de *Naja naja* é dependente de sua atividade enzimática, uma vez que inibidores enzimáticos como o ρ -BPB e a mepacrina inibiram esta resposta. Além disso, mostraram que a presença de Ca⁺⁺ no meio de suspensão dos mastócitos é essencial para a ocorrência da degranulação. Estes fatos, em conjunto, confirmam a dependência da atividade enzimática da sPLA₂ de *Naja naja* na degranulação de mastócitos pois estas enzimas requerem concentrações milimolares de Ca⁺⁺ para apresentar atividade enzimática.

Estes resultados foram corroborados por Moreno *et al.* (1992) em um estudo onde utilizaram a mesma sPLA₂ proveniente do veneno de *Naja naja*. Porém, demonstraram que, apesar da participação da atividade enzimática, não existiu correlação entre o aumento da produção de eicosanóides e a degranulação de mastócitos induzida por esta enzima. Além disso, demonstraram que a apomorfina, um composto capaz de inibir a degranulação induzida por lisofosfolipídeos (Mietto *et al.*, 1984), reduziu de forma significativa esta degranulação. Sendo assim, estes autores sugeriram que a degranulação de mastócitos induzida pela sPLA₂ de *Naja naja* é mediada por lisofosfolipídeos produzidos pela atividade enzimática das sPLA₂s na membrana de mastócitos. Desta forma, conclui-se que esta sPLA₂ estaria atuando em fosfolipídeos que não contêm o ácido araquidônico esterificado em sua posição sn-2. Posteriormente, Lloret *et al.* (1995) demonstraram que os monoacilglicerídeos lisofosfatidilcolina, lisofosfatidiletanolamina e lisofosfatidilserina induzem degranulação de mastócitos, sendo os dois primeiros de forma inespecífica, e o último, de forma específica através da ativação de fosfolipase C.

Vadas *et al.* (1993) questionaram os estudos em que foram empregados sPLA₂s de veneno porque os resultados encontrados são muitas vezes contraditórios. Além disso, algumas ações biológicas destas enzimas diferem daquelas produzidas pela sPLA₂ de mamíferos (Bomalaski *et al.*, 1991). Por outro lado, os estudos nos quais foram utilizados a sPLA₂ purificada de fontes biológicas ou sPLA₂ recombinante mostraram que a relação entre a atividade enzimática e os efeitos inflamatórios nem sempre ocorre (Murakami *et al.*, 1993; Cirino *et al.*, 1994b).

Recentemente, demonstrou-se que, em ratos, a atividade inflamatória das sPLA₂s não está necessariamente relacionado ao poder catalítico dessas enzimas (Landucci *et al.*, 1998). Tais conclusões foram baseadas em estudos onde empregaram-se duas sPLA₂s isoladas do veneno de

Bothrops jararacussu, a bothropstoxina-I (BthTX-I) e bothropstoxina-II (BthTX-II). A BthTX-I é completamente destituída de atividade fosfolipásica ao passo que a BthTX-II apresenta atividade fosfolipásica muito baixa (ainda menor do que a PLA₂ de pâncreas; Homsi-Brandeburgo *et al.*, 1988; Cintra *et al.*, 1993). Foi observado que a BthTX-I e BthTX-II induziram edema de pata de rato e degranulação de mastócitos significantes e equivalentes àqueles observados com a PLA₂ do veneno de *Naja naja* (Landucci *et al.*, 1998). Dessa forma, outros mecanismos de ação, ainda não esclarecidos, devem ser os responsáveis pela atividade edematogênica da BthTX-I e BthTX-II e, possivelmente, de outras PLA₂.

Com relação à migração celular induzida pelas sPLA₂s, Pruzanski *et al.* (1985) foram os primeiros a demonstrar este efeito. Estes autores conduziram um estudo histológico das alterações provocadas na pele de coelho após injeção intradérmica de sPLA₂ do veneno de *Naja naja* e pancreática porcina. Demonstraram que a sPLA₂ do veneno foi mais potente do que a pancreática em provocar estas alterações teciduais. Além disso, a inibição enzimática da sPLA₂ de *Naja naja* resultou em diminuição significativa da lesão, embora algumas alterações inflamatórias teciduais tenham persistido. Estes mesmos autores observaram ainda alterações histológicas provocadas pela injeção intra-articular em ratos da sPLA₂ purificada de fluido de articulação artrítica humana e do veneno de *Naja naja*. Estas duas enzimas provocaram sinovite inflamatória com infiltrado leucocitário aparentemente relacionado à atividade enzimática das mesmas (Vadas *et al.*, 1989). Posteriormente, foi conduzido um estudo em coelhos através da injeção intra-articular de sPLA₂ recombinante de fluido sinovial humano (rPLA₂; Seilhamer *et al.*, 1989), de veneno de *Naja mocambique mocambique* e pancreática porcina. Demonstrou-se que a rPLA₂ foi mais potente em induzir infiltrado leucocitário a despeito de sua menor atividade enzimática, quando comparada à sPLA₂ de *Naja mocambique mocambique*. Por outro lado, estes autores demonstraram que os efeitos pró-inflamatórios da rPLA₂ foram relacionados à produção de PGE₂ no sítio inflamado. Além disso, a inibição enzimática desta enzima pelo brometo de ρ -bromofenacil (ρ -BPB) reduziu marcadamente estes efeitos (Bomalaski *et al.*, 1991).

A migração leucocitária induzida pelas mesmas sPLA₂s foi investigada utilizando o modelo experimental de “air pouch” (bolsa de ar subcutânea no dorso do rato; Cirino *et al.*, 1994b). Aparentemente, o tecido formado nesta bolsa mimetiza aquele do líquido sinovial. Estes autores demonstraram que a sPLA₂ recombinante humana de fluido sinovial produziu infiltrado celular enquanto que a sPLA₂ proveniente do veneno de *Naja mocambique mocambique* e a pancreática porcina não causaram este efeito. Porém, estas respostas não foram relacionadas com produção de PGE₂, TxB₂, LTC₄ ou LTB₄ (Cirino *et al.*, 1994b).

Em resumo, ainda é controverso se a atividade enzimática das sPLA₂s é ou não importante para a migração celular induzida por estas enzimas.

1.4. OBJETIVO

- 1) Caracterizar a atividade edematógena da piratoxina-I em pele e pata de ratos;
- 2) Caracterizar a migração celular pleural induzida por sPLA₂s com atividade enzimática elevada (sPLA₂ do veneno de *Naja naja*), intermediária (sPLA₂ pancreática bovina), residual (bothropstoxina-II) ou nula (bothropstoxina-I e piratoxina-I);
- 3) Investigar a participação dos mastócitos nos fenômenos de aumento de permeabilidade vascular induzido pela PrTX-I e migração celular induzida pela sPLA₂ do veneno de *Naja naja*, BthTX-I, BthTX-II e PrTX-I;
- 4) Investigar a importância da atividade catalítica e do conteúdo de cargas catiônicas da PrTX-I sobre o aumento de permeabilidade vascular;
- 5) Investigar a importância da atividade catalítica da BthTX-I, BthTX-II, PrTX-I e sPLA₂ do veneno de *Naja naja* no fenômeno de migração celular pleural.

2. MÉTODOS

2.1. ANIMAIS

Foram utilizados ratos machos Wistar, mantidos com água e ração *ad libitum*. Os animais foram fornecidos pelo CEMIB (Centro de Bioterismo da UNICAMP).

2.2. EDEMA DE PATA

Os ratos (130-180 g) foram anestesiados superficialmente com éter e submetidos à uma injeção sub-plantar de 0.1 ml do agente edemato-gênico (dissolvido em solução fisiológica) na pata traseira esquerda do animal. O volume da pata do rato foi medido imediatamente antes e após a injeção do agente edemato-gênico, em intervalos pré-estabelecidos, utilizando um hidropletismômetro (modelo 7150, Ugo Basile, Itália).

Os resultados foram expressos como aumento do volume da pata (ml), calculado por subtração do volume basal. Em alguns casos, a área sob a curva (AUC) da formação de edema contra o tempo (ml x min) foi calculada usando o método trapezoidal.

2.3. EDEMA DE PELE

A técnica de edema de pele foi realizada de acordo com o procedimento descrito por Williams (1979) e Brain & Williams (1985). Os ratos (180-220 g) foram anestesiados intraperitonealmente com pentobarbital sódico (Sagatal®, 30-40 mg/Kg) e doses de manutenção foram administradas quando necessárias. Após a depilação do dorso do animal, injetou-se albumina humana marcada com ^{125}I (2 $\mu\text{Ci}/\text{Kg}$) juntamente com azul de Evans (0.5 ml/Kg, 2.5% w/v) através do seio venoso peniano ou da veia caudal. Os agentes em teste foram preparados em salina estéril e injetados subcutaneamente (em duplicata) em volume de 100 μl na pele dorsal. Após 15 minutos, uma amostra de aproximadamente 3 ml de sangue foi coletada através de punção cardíaca, e o animal foi então sacrificado injetando-se dose letal de Sagatal. A pele dorsal foi removida e os sítios injetados (delimitados pelo extravasamento do azul de evans) foram cortados com instrumento

circular cortante (15 mm de diâmetro) e a radioatividade de cada sítio contada em contador gama. O edema formado em cada sítio foi expresso como volume de plasma extravasado, calculado a partir da contagem de radioatividade em 1 ml de plasma (centrifugado a partir do sangue colhido). Utilizamos 12 sítios por animal (6 agentes testes em duplicatas).

2.4. PLEURISIA

Os ratos (180-200 g) foram anestesiados superficialmente com éter e, após depilação na região intercostal esquerda, foi feita uma incisão ao nível do sexto espaço intercostal e uma dessecção subcutaneamente. Os músculos adjacentes foram afastados e os agentes inflamatórios (ou veículo) injetados na cavidade pleural com uma agulha BD 25/7 de 0,5 cm em um volume de 0,1 ml. As incisões foram suturadas e os animais recuperados da anestesia. Em intervalos de tempo pré-estabelecidos após a injeção intrapleural, os animais, sob anestesia com éter, foram exsanguinados pelo corte de seus vasos cervicais. O tórax foi cuidadosamente exposto e a cavidade pleural lavada com 5 ml (2,5 ml na altura da quarta costela de cada lado) de tampão PBS (pH 7,4) heparinizado (10 U/ml). O lavado pleural foi aspirado e o volume total mensurado. Exsudatos contaminados com sangue foram desprezados. Os resultados foram calculados subtraindo-se o volume injetado (5 ml) do volume total recuperado. Após a realização da contagem total e diferencial de leucócitos, o lavado pleural foi centrifugado e o sobrenadante congelado.

2.4.1. Contagem total de leucócitos

Uma alíquota de 20 µl do lavado pleural foi usada para contagem total do número de leucócitos. As hemácias foram lisadas pela adição da solução de Turk (diluição 1:20). A leitura foi feita nos 4 quadrantes externos da câmara de Neubauer.

2.4.2. Contagem Diferencial

O esfregaço foi obtido pela centrifugação de alíquotas do lavado pleural (50-150 µl dependendo da contagem total) em citocentrífuga marca Revan. O corante de May-Grünwald foi gotejado sobre os esfregaços sem permitir a sua evaporação. Após 3 min, foi gotejada água destilada sobre as lâminas e, movimentos leves, misturaram-na ao corante. Após 5 min, as lâminas foram

lavadas em água corrente. A leitura das lâminas foi feita em microscópio óptico usando-se objetiva de imersão.

2.5. DEPLEÇÃO DOS ESTOQUES DE HISTAMINA E 5-HT

Os ratos (180-200 g) foram depletados de seus estoques de histamina e 5-HT por injeções repetidas do composto 48/80 (Spector & Willoughby, 1959; Di Rosa *et al.*, 1971). Resumidamente, oito doses de uma solução a 0.1 % de 48/80 (m/v) em salina foi aplicada no peritôneo (i.p.) dos animais. O intervalo entre as doses foi de aproximadamente 12 h (manhã e noite). A dose foi de 0.6 mg/Kg para as seis primeiras injeções e de 1.2 mg/Kg para as duas últimas. O grupo controle foi conduzido com injeções i.p. de salina administradas no mesmo volume. A pleurisia foi feita 5-6 h após a última dose do composto 48/80. Para confirmar a eficiência da depleção de histamina e 5-HT verificamos se o tratamento abolia o edema de pata induzido pelo 48/80.

2.6. DEGRANULAÇÃO DE MASTÓCITOS

2.6.1. Obtenção de mastócitos pleurais e peritoneais

Os ratos (180-220 g) foram anestesiados com éter e exsanguinados seccionando-se os vasos cervicais. Em seguida, injetou-se tampão Krebs-Ringer (KRP; pH 7,3) na cavidade peritoneal (10 ml) ou pleural (5 ml) dos animais e as mesmas foram massageadas para que a solução se espalhasse uniformemente por toda cavidade. Em seguida, os lavados peritoneal ou pleural foram coletados em tubos de polipropileno. Normalmente, procedia-se, primeiramente, a obtenção de mastócitos pleurais e, em seguida, utilizando os mesmos animais, obtinha-se os mastócitos peritoneais como descrito anteriormente. Após obtenção dos lavados (pleural e peritoneal), os mesmos foram separadamente centrifugados durante 5 minutos (800 rpm), à temperatura ambiente. Os sobrenadantes foram desprezados e os precipitados ressuspensos com KRP (6,5 ml). Em seguida, foram feitas as contagens total e diferencial destes dois lavados, no sentido de corrigir o volume para igualar a concentração de mastócitos nos dois lavados. Posteriormente, os mesmos foram incubados com 40 nCi/ml de [¹⁴C]5-HT à 37°C por 60 min. Após incubação, as células foram lavadas 3 vezes com KRP para remover o conteúdo de [¹⁴C]5-HT não incorporado pelos mastócitos. Após esse procedimento,

as suspensões de mastócitos foram divididas em diversas alíquotas (0.5 ml) para incubação com os agentes degranuladores.

2.6.2. Incubação de mastócitos

Agentes degranuladores foram adicionados à suspensão de mastócitos (0.5 ml) e incubados à 37°C por 20 min. Após a incubação, as células foram centrifugadas (300 g, 10 min.) e o sobrenadante removido para a determinação de [¹⁴C]5-HT. A solução de KRP (1.0 ml) foi adicionada ao resíduo para a determinação da [¹⁴C]5-HT residual. As concentrações de [¹⁴C]5-HT foram determinadas quantificando-se a radioatividade liberada e expressa como % do conteúdo total de 5-HT. Todos os valores obtidos foram corrigidos subtraindo-se o valor de liberação espontânea na ausência de estímulos.

2.7. PURIFICAÇÃO DA BthTX-I E DA BthTX-II

As Bothropstoxinas I e II foram purificadas do veneno de *Bothrops jararacussu* através de gel filtração em Sephadex G-75 e cromatografia de troca iônica em SP-Sephadex C-25 de acordo com o método descrito por Homsi-Brandeburgo *et al.* (1988). A purificação e sequenciamento foram feitos de acordo com método descrito por Cintra *et al.* (1993). As bothropstoxinas utilizadas em nossos experimentos foram fornecidas pelo Prof. Dr. José R. Giglio (Departamento de Bioquímica da Faculdade de Medicina de Ribeirão Preto da Universidade de São Paulo) e pelo Prof. Dr. Benedito Oliveira (Departamento de Bioquímica, Instituto de Biologia, UNICAMP).

2.8. PURIFICAÇÃO DA PrTX-I

O veneno da *Bothrops pirajai* foi fracionado (SI a SVI) através de gel filtração em Sephadex G-75. A piratoxina-I foi obtida por cromatografia de troca iônica em SP-Sephadex C-25 da fração SIV de acordo com o método descrito por Mancuso *et al.* (1995). A piratoxina utilizada em nossos experimentos também foi fornecida pelo Prof. Dr. José R. Giglio (Departamento de Bioquímica da Faculdade de Medicina da Universidade de São Paulo, Ribeirão Preto) e pelo Prof. Dr. Benedito Oliveira (Departamento de Bioquímica, Instituto de Biologia, UNICAMP).

2.9. TRATAMENTO DAS BOTHROPSTOXINAS E PIRATOXINA-I COM BROMETO DE ρ -BROMOFENACIL

O tratamento das Bothropstoxinas e da Piratoxina com o brometo de ρ -bromofenacil (ρ -BPB) foi realizado conforme o método descrito por Nishida *et al.* (1985).

As BthTX-I, BthTX-II e PrTX-I (1 mg) foram dissolvidas em 900 μ l tampão Tris-HCl (0,2 M, pH 8.0, contendo 1,4 mM de EDTA) e misturadas com 100 μ l de ρ -BPB para obtenção de concentração final de 1 mg/ml. A mistura foi incubada durante 20 horas à 37°C. Após este período, a mistura foi ultra-filtrada através de um sistema Amicon (modelo 8 MC) utilizando-se uma membrana capaz de reter substâncias com peso molecular menor que 3000. Este procedimento objetivou a eliminação do excesso de ρ -BPB que não se complexou com a sPLA₂, do TRIS (hidroximetilaminometano), do EDTA (ácido etíleno diamino tetracético) e do álcool etílico. Também procedeu-se um tratamento controle onde as amostras desta enzima passaram pelas mesmas etapas do tratamento, exceto a da adição do ρ -BPB. Esta amostra foi utilizada como controle dos experimentos nos quais se avaliou o efeito do ρ -BPB nas atividades farmacológicas das sPLA₂s. Após o tratamento, a concentração proteica das amostras foi determinada pelo método de Peterson (1977).

Para os experimentos de pleurisia o tratamento foi realizado sem a etapa da ultra-filtração. Desta maneira, amostras de bothropstoxinas ou PrTX-I (2 mg) foram dissolvidas em 1800 μ l de tampão Tris-HCl (0,2 M, pH 8.0, contendo 1,4 mM de EDTA). Esta solução foi dividida em duas alíquotas de 900 μ l. A alíquota teste foi misturada com 100 μ l de solução alcoólica de brometo de ρ -bromofenacil (0,8 mg/ml) e a alíquota controle foi misturada somente com 100 μ l de álcool etílico. Um controle negativo foi feito misturando-se 900 μ l de tampão Tris-HCl com 100 μ l de solução alcoólica de ρ -BPB (0,8 mg/ml). As três misturas foram incubadas durante 20 horas à 37°C e, após este período, congeladas para utilização posterior.

Para confirmar a inibição da atividade enzimática da sPLA₂ de *Naja naja* e BthTX-II pelo tratamento com ρ -BPB, procedemos ensaio enzimático *in vitro* para determinação da atividade fosfolipásica pelo método colorimétrico, o qual utiliza o vermelho de fenol como indicador e gema de ovo (fonte de lecitina) como substrato (Lôbo de Araújo *et al.*, 1987). Como controle das sPLA₂s complexadas com ρ -BPB utilizamos as amostras de sPLA₂s que passaram pelo tratamento controle (Tabela 1).

2.10. TRATAMENTOS

O tratamento prévio dos animais com o antagonista duplo do receptor de histamina/serotonina, ciproheptadina, foi feito através de injeção intraperitoneal 30 min antes da injeção sub-plantar, intradérmica ou intrapleural das sPLA₂s. No edema de pata e pele a dose utilizada foi de 2 mg/Kg, enquanto que na pleurisia foi de 10 mg/K. Em pata e pele de ratos, a heparina foi co-injetada com as sPLA₂s nas doses de 50 UI/pata e 5 UI/sítio, respectivamente. Na degranulação de mastócitos a heparina foi co-incubada com as sPLA₂s na dose de 50 UI/ml.

2.11. ANÁLISE ESTATÍSTICA

Os resultados foram expressos como média \pm erro padrão da média (E.P.M.). As comparações estatísticas foram feitas de acordo com a análise de variança (ANOVA) com aplicação do teste de Bonferroni para correção dos valores de *p* para as comparações múltiplas. Valores de *p*<0.05 foram considerados significantes.

3. RESULTADOS

3.1. EDEMA DE PATA E PELE

3.1.1. Edema de pata induzido pela PrTX-I

A Figura 1 mostra que a injeção sub-plantar de PrTX-I (3-100 µg/pata, n=6) induziu edema de pata dependente da dose. O edema caracterizou-se por apresentar início de ação rápido (30 min; 100 µg/pata: 0.84 ± 0.06 ml).

O tratamento prévio dos animais com ciproheptadina (2 mg/kg, i.p., 30 min antes; n=5) aboliu o edema induzido pela PrTX-I (100 µg/pata; Figura 2A). Na dose empregada, a ciproheptadina praticamente aboliu o edema de pata induzido pelo composto 48/80 (3 µg/pata, 30 min: 0.87 ± 0.05 ml e 0.22 ± 0.09 ml, animais controle e tratados, respectivamente, n= 5; $p<0.01$).

A Figura 2B mostra que a injeção sub-plantar de PrTX-I (100 µg/pata) previamente tratada com ρ -BPB resultou em uma resposta edematógena marcadamente menor. Esta inibição foi específica, visto que o edema de pata induzido pelo composto 48/80 (3 µg/pata; AUC = 2.1 ± 0.1 ml.min, n=5) não foi significativamente alterado quando este agente foi preparado em solução contendo o ρ -BPB (AUC = 2.3 ± 0.3 ml.min, n=5).

A co-injeção de PrTX-I (100 µg/pata) com heparina (50 UI/pata) causou uma inibição parcial, porém significativa ($p<0.05$), do edema induzido por esta sPLA₂ (Figura 2C; n=10).

3.1.2. Edema de pele induzido pela PrTX-I

A injeção intradérmica de piratoxina nas doses de 3 e 30 µg/pata (n=4) causou formação de edema (87 ± 13 µl e 134 ± 10 µl, respectivamente), quando comparada aos sítios injetados com salina (10 ± 2 µl; $p<0.05$). O tratamento prévio dos animais com ciproheptadina (2 mg/kg, i.p., 30 min antes) reduziu significativamente ($p<0.01$) o edema induzido pela PrTX-I (3 µg/sítio; Figura 3). Na dose utilizada, a ciproheptadina reduziu em 90% o edema induzido pela injeção intradérmica do composto 48/80 (0.5 µg/sítio, n=4).

O ρ -BPB inibiu significativamente ($p<0.01$) o edema de pele induzido pela PrTX-I (3 µg/sítio, n=4; Figura 3) sem, contudo, interferir no edema de pele induzido pelo composto 48/80

($0.5 \mu\text{g}/\text{sítio}$; $97.2 \pm 3.5 \mu\text{l}$ e $90.0 \pm 13.2 \mu\text{l}$, volume de plasma extravasado em resposta ao 48/80 preparado em salina ou em solução de brometo de ρ -bromofenacil, respectivamente, $n=4$).

A heparina (5 UI/sítio) também reduziu significativamente ($p<0.01$) o edema de pele induzido pela PrTX-I ($3 \mu\text{g}/\text{sítio}$, $n=4$; Figura 3).

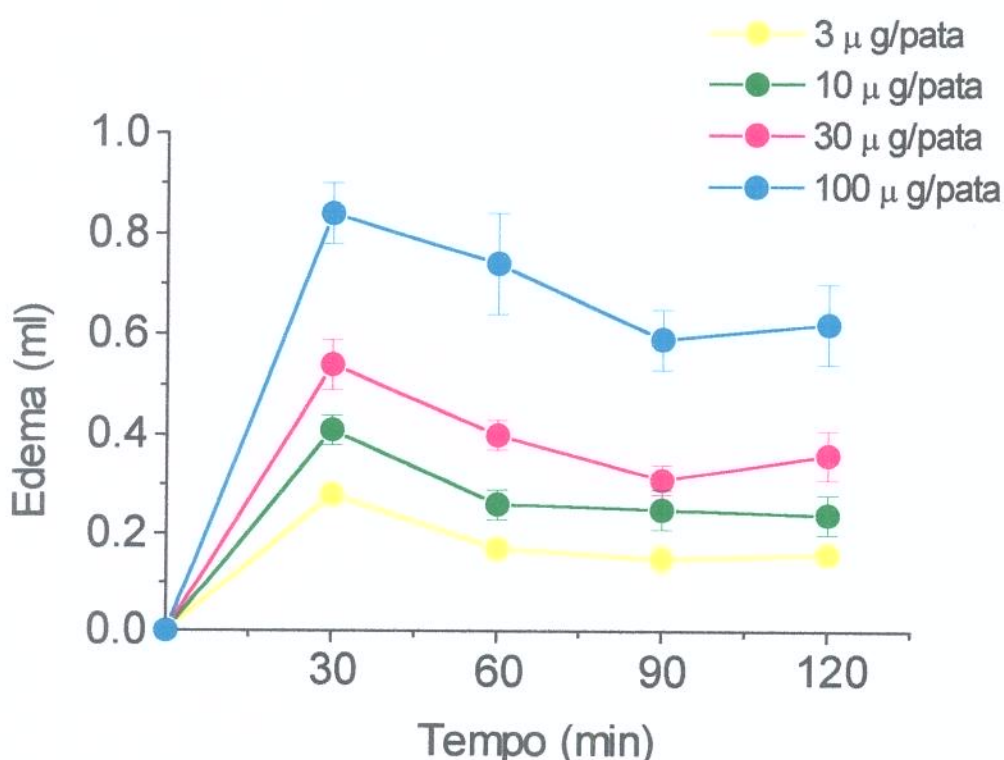


FIGURA 1 - Curva dose-resposta do edema de pata induzido pela PrTX-I. O edema foi expresso como o aumento de volume (ml) da pata em relação ao volume basal. Cada ponto representa a média de 6 ratos \pm E.P.M.. * $p<0.01$, comparando-se com seus respectivos controles.

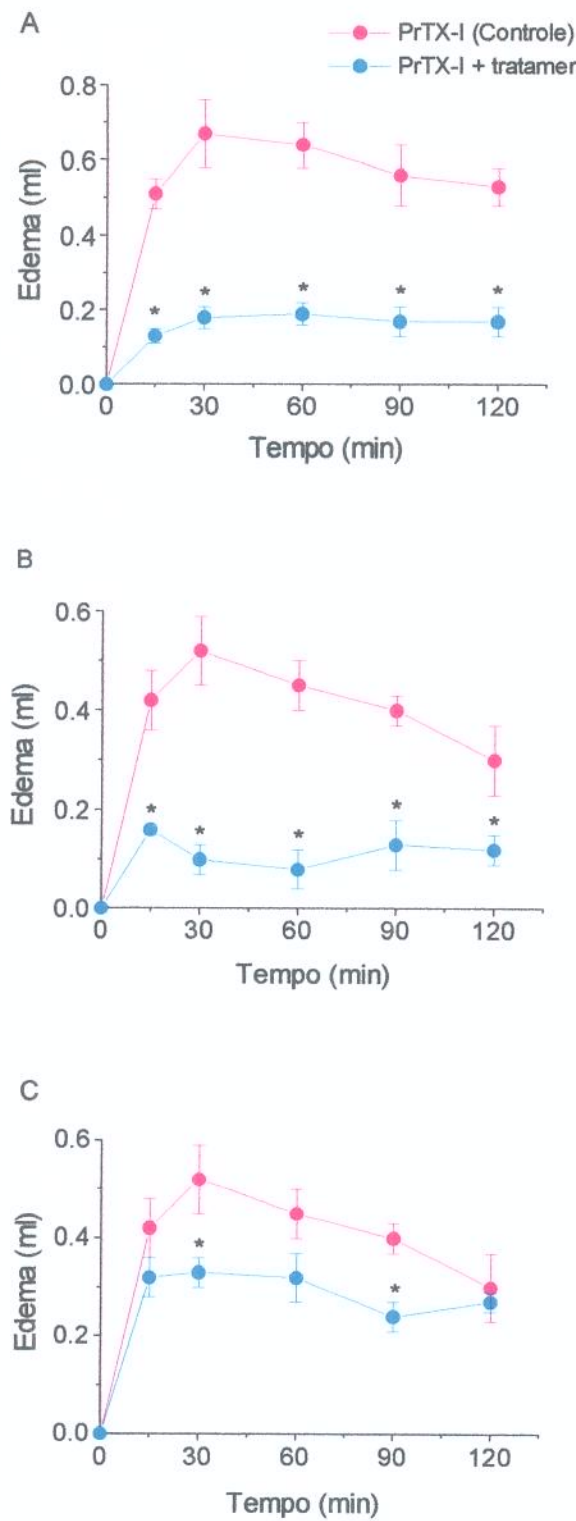


FIGURA 2 - Efeito da ciproheptadina (2 mg/Kg, i.p., 30 min antes; **Painel A**), brometo de ρ -bromofenacil (**Painel B**) e heparina (50 UI/pata, co-injeção; **Painel C**) sobre o edema de pata induzido pela PrTX-I (100 μ g/pata). O edema foi expresso como aumento do volume da pata (ml) em relação ao volume basal. Cada ponto representa uma média de 5-10 ratos \pm E.P.M.. * $p < 0.01$, comparando-se com seus respectivos controles.

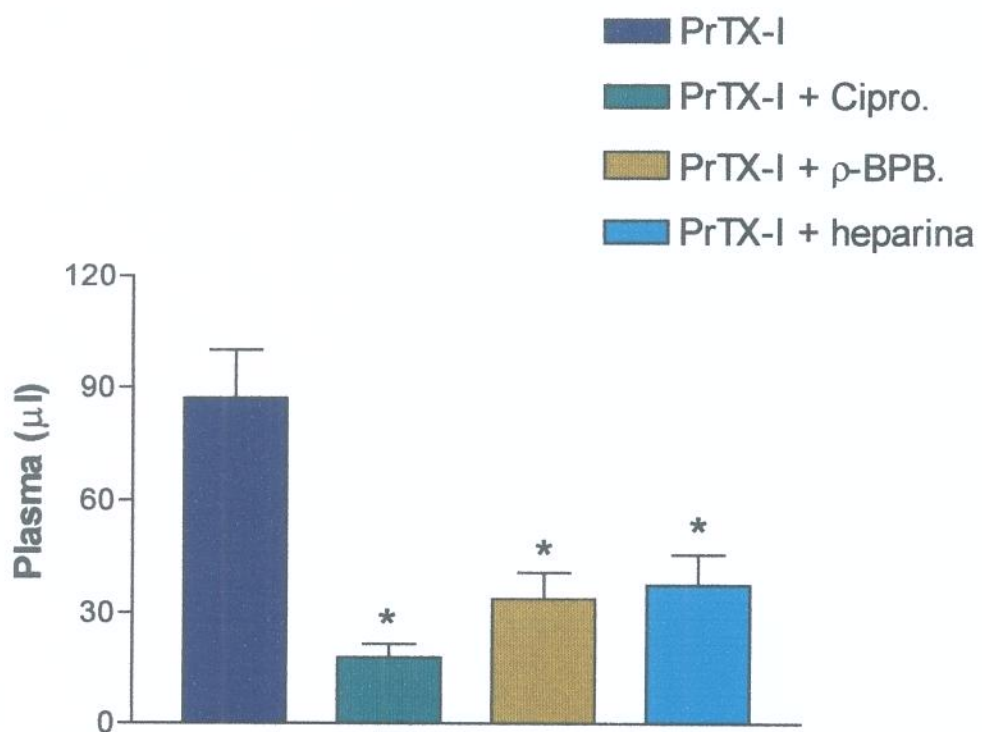


FIGURA 3 - Efeito da ciproheptadina (2 mg/Kg, i.p., 30 min antes), do tratamento com brometo de ρ -bromofenacil (ρ -BPB) e da heparina (5 UI/pata, co-injeção) sobre o edema de pele induzido pela PrTX-I (3 μ g/sítio). O edema foi expresso como μ l de plasma extravasado. Cada ponto representa a média de 4 ratos \pm E.P.M.. * $p<0.01$, comparando-se com seus respectivos controles.

3.2. DEGRANULAÇÃO *IN VITRO* DE MASTÓCITOS PLEURAIS E PERITONEAIS

A BthTX-I (100 µg/ml, $n=3$), BthTX-II (100 µg/ml, $n=3$), PrTX-I (100 µg/ml, $n=3$) e o composto 48/80 (10 µg/ml, $n=3$) induziram liberação significante de [¹⁴C]5-HT de mastócitos pleurais de rato ($20.5 \pm 1.0\%$, $30.9 \pm 3.4\%$, 42.1 ± 3.3 e 71.5 ± 3.3 , respectivamente) quando comparados à liberação espontânea. Resultados semelhantes foram observados com a liberação de [¹⁴C]5-HT de mastócitos peritoneais ($19.5 \pm 1.8\%$, $35.4 \pm 2.8\%$, $32.0\% \pm 2.3$ e $74.7 \pm 1.6\%$ para as mesmas concentrações de BthTX-I, BthTX-II, PrTX-I e 48/80, respectivamente; $n=3$). Isto mostrou que as sPLA₂s utilizadas e o composto 48/80 são equipotentes em ambas as populações de mastócitos.

O ρ -BPB não inibiu significativamente a liberação de [¹⁴C]5-HT induzida por BthTX-I (100 µg/ml, $n=3$) em mastócitos pleurais ou peritoneais (Figura 4A). Entretanto, a heparina (50 UI/ml) inibiu marcadamente a liberação de [¹⁴C]5-HT induzida por BthTX-I (100 µg/ml, $n=3$; $p<0.01$), tanto de mastócitos pleurais como de mastócitos peritoneais (Figura 4B).

A liberação de [¹⁴C]5-HT induzida pela BthTX-II (100 µg/ml) em mastócitos pleurais e peritoneais foi reduzida de maneira parcial, porém significativa ($p<0.05$), pelo ρ -BPB ($n=4$; Figura 5A) e heparina ($n=3$, 50 U/ml; Figura 5B).

O ρ -BPB inibiu significativamente a liberação de [¹⁴C]5-HT induzida por PrTX-I (100 µg/ml, $n=3$) em mastócitos pleurais e peritoneais (Figura 6A). A heparina (50 UI/ml) inibiu marcadamente a liberação de [¹⁴C]5-HT induzida por piratoxina-I (100 µg/ml, $n=3$; $p<0.05$), tanto de mastócitos pleurais, como de mastócitos peritoneais (Figura 6B).

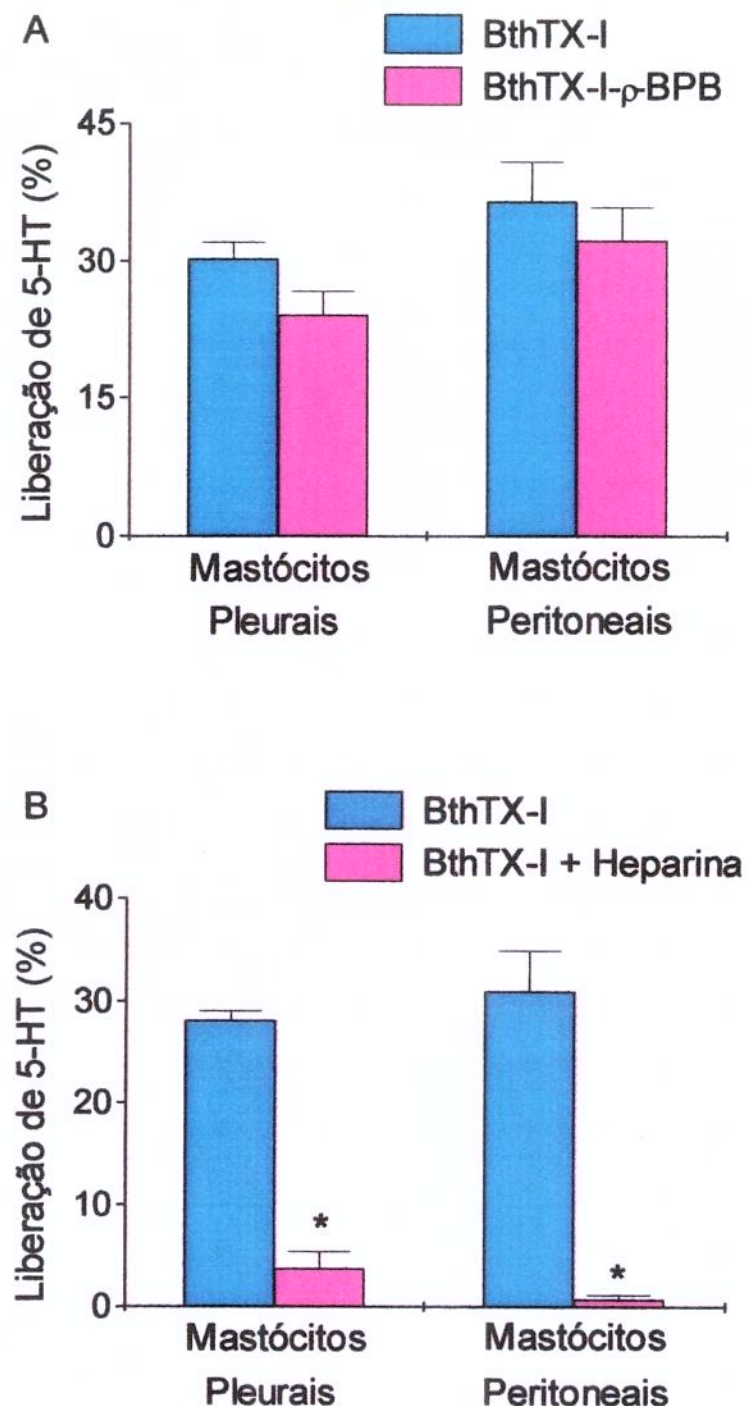


FIGURA 4 - Efeito do tratamento com brometo de ρ -bromofenacil (ρ -BPB; **Painel A**) e da heparina (50 UI/ml, co-incubação; **Painel B**) na degranulação de mastócitos pleurais e peritoneais *in vitro* induzida pela BthTX-I (100 μ g/ml). O estímulo foi usado em duplicata em cada experimento ($n=3$). * $p<0.01$ comparando-se com seus respectivos controles. Os resultados foram expressos como média \pm E.P.M. da porcentagem de liberação de [14 C]5-HT.

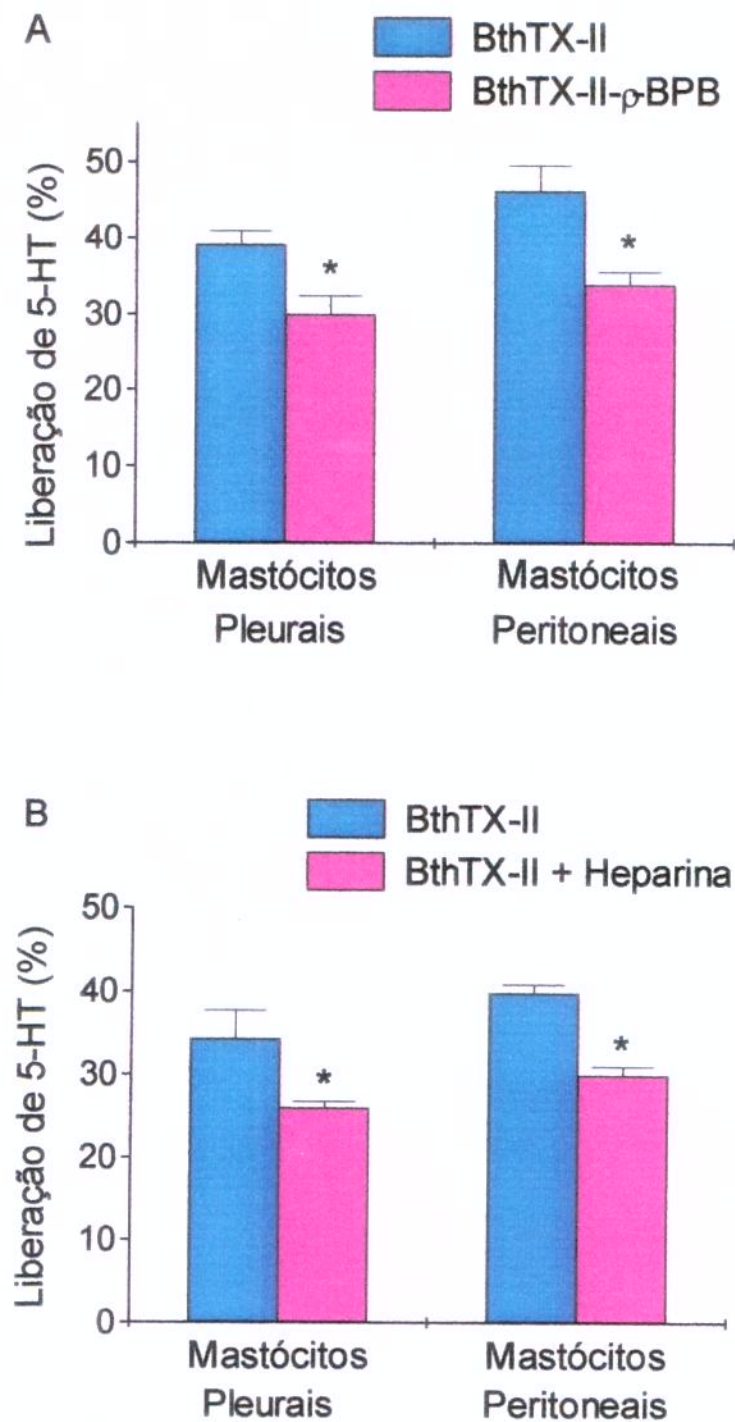


FIGURA 5 - Efeito do tratamento com brometo de ρ -bromofenacil (ρ -BPB; **Painel A**) e da heparina (50 UI/ml, co-incubação; **Painel B**) na degranulação de mastócitos pleurais e peritoneais *in vitro* induzida pela BthTX-II (100 μ g/ml). O estímulo foi usado em duplicata em cada experimento ($n=3-4$). * $p<0.01$ comparando-se com seus respectivos controles. Os resultados foram expressos como média \pm E.P.M. da porcentagem de liberação de [14 C]5-HT.

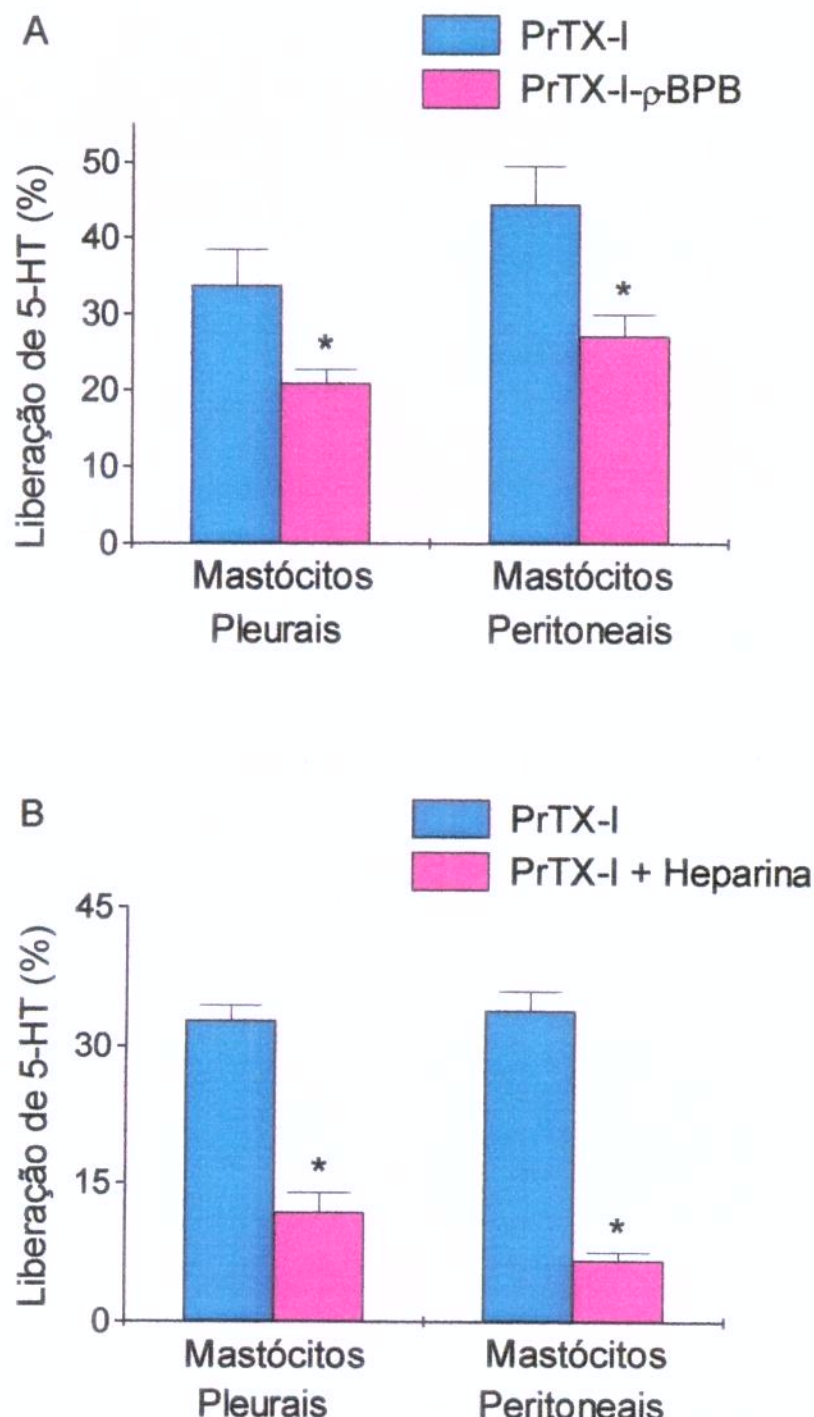


FIGURA 6 - Efeito do tratamento com brometo de ρ -bromofenacil (ρ -BPB; **Painel A**) e da heparina (50 UI/ml, co-incubação; **Painel B**) na degranulação de mastócitos pleurais e peritoneais *in vitro* induzida pela PrTX-I (100 μ g/ml). O estímulo foi usado em duplicata em cada experimento ($n=3$). * $p<0.01$ comparando-se com seus respectivos controles. Os resultados foram expressos como média \pm E.P.M. da porcentagem de liberação de [14 C]5-HT.

3.3. PLEURISIA

3.3.1. sPLA₂ do veneno de *Naja naja*

A Figura 7 mostra que a injeção intrapleural da sPLA₂ do veneno de *Naja naja* (10 µg/cavidade, $n=6$) induziu migração leucocitária significativa ($p<0.05$) para cavidade pleural em relação ao grupo controle (salina, $n=4$), nos tempos de 6, 12 e 48 h após a injeção. O conteúdo total de leucócitos foi maior em 6 h, decaindo nos tempos seguintes. A migração máxima de neutrófilos e eosinófilos ocorreu, respectivamente, em 6 e 12 h. O maior conteúdo de células mononucleares foi observado nos tempos de 6 e 12 h. Nos três períodos de tempo estudados, não foi observado formação significativa de exsudato pleural.

Em 6 h, o influxo celular foi avaliado utilizando as doses de 3, 10 e 30 µg/cavidade desta sPLA₂ ($n=5$; Figura 8). Foi observado que o infiltrado total de leucócitos foi dependente da dose sendo a resposta sub-máxima atingida com a dose de 10 µg/cavidade (Figura 8). O infiltrado leucocitário pleural consistiu sobretudo de neutrófilos e células mononucleares sendo que, neste período de tempo, não houve infiltrado significativo de eosinófilos. Para os experimentos subsequentes com esta sPLA₂, padronizamos o tempo de 6 h e a dose de 10 µg/cavidade.

3.3.2. sPLA₂ pancreática bovina

A injeção intrapleural da sPLA₂ pancreática bovina (10 µg/cavidade, $n=6$; Figura 9) induziu migração celular total discreta, porém significativa ($p<0.05$), no intervalo de 6 h. Esta migração resultou de um influxo significativo de neutrófilos e células mononucleares, mas não de eosinófilos.

Em 6 h, o influxo celular foi avaliado também para a dose de 100 µg/cavidade ($n=6$, Figura 10). Observamos que o influxo celular total e diferencial foi equivalente aquele observado com a dose de 10 µg/cavidade.

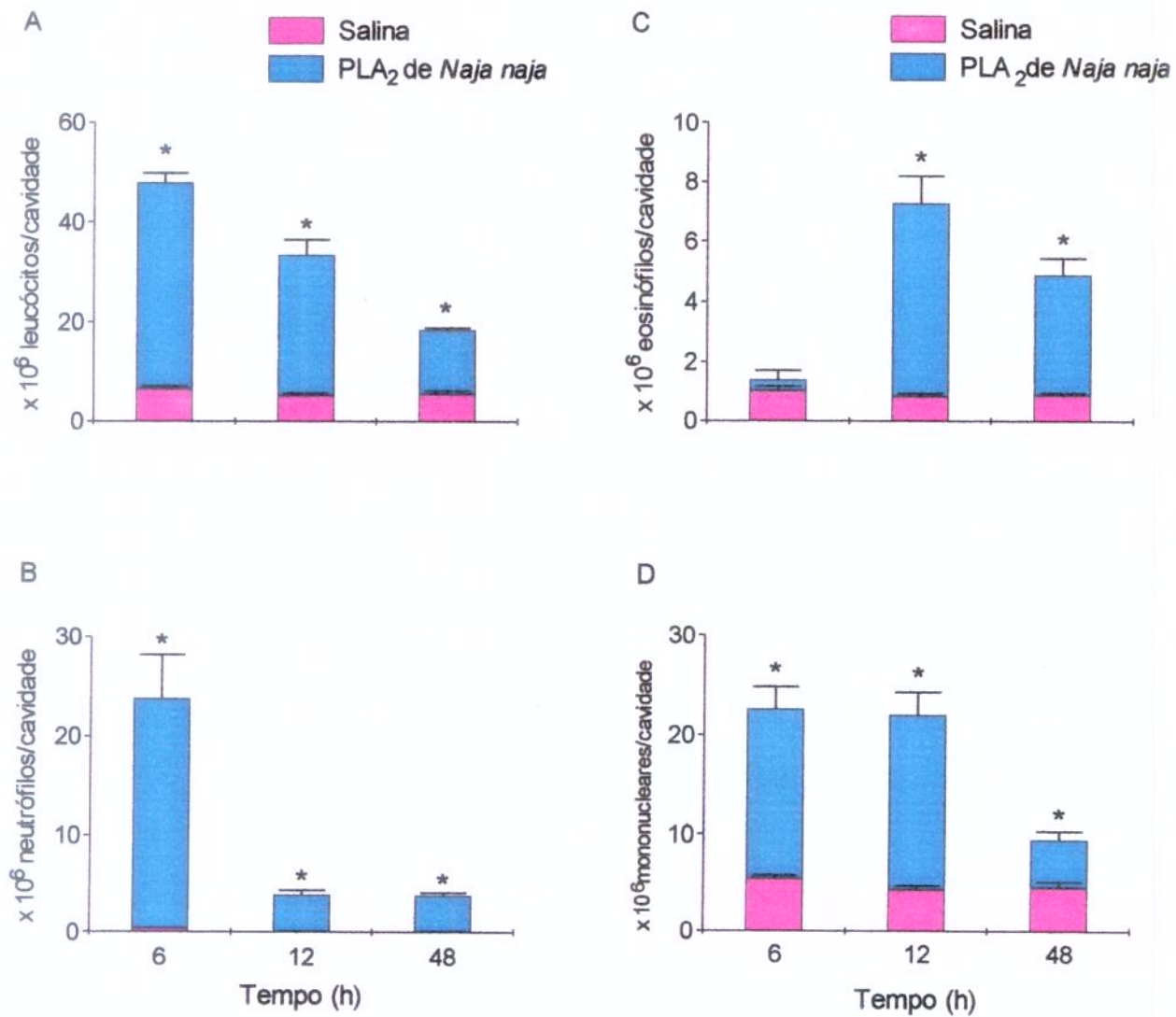


FIGURA 7 - Efeito da injeção intrapleural da PLA₂ do veneno de *Naja naja* (10 µg/cavidade) na migração de leucócitos totais (**Painel A**), neutrófilos (**Painel B**), eosinófilos (**Painel C**) e células mononucleares (**Painel D**) em intervalos de 6, 12 e 48 h após a injeção. Cada ponto representa a média de 6 ratos ± E.P.M.. * $p < 0.05$, comparando-se com o grupo controle, injetado com salina (0.1 ml; $n=4$).

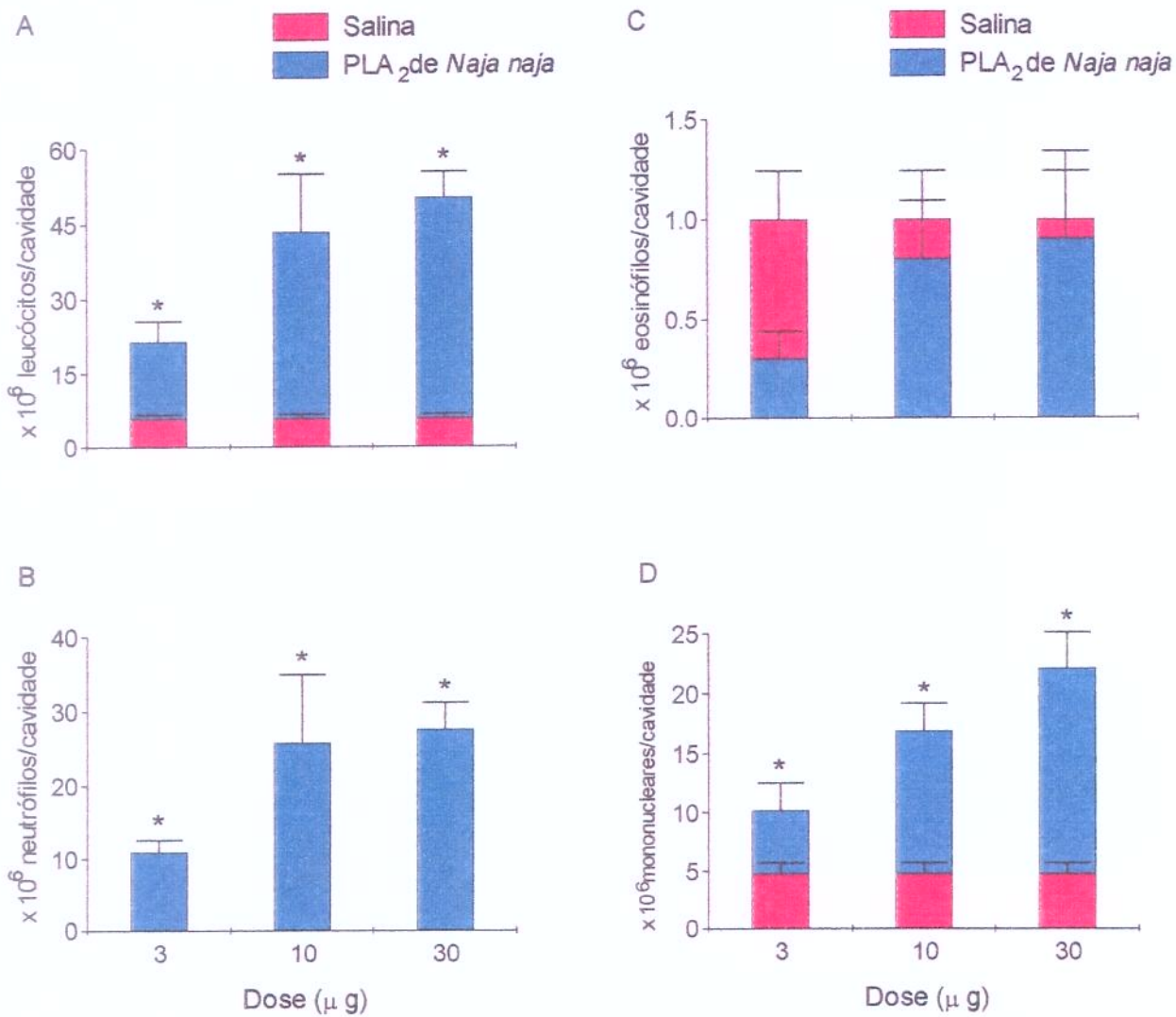


FIGURA 8 - Migração de leucócitos totais (**Painel A**), neutrófilos (**Painel B**), eosinófilos (**Painel C**) e células mononucleares (**Painel D**) para cavidade pleural 6 h após a injeção intrapleural da PLA₂ do veneno de *Naja naja* nas doses de 3, 10 e 30 μ g/cavidade. Cada ponto representa a média de 5 ratos \pm E.P.M.. * $p<0.05$, significativo comparando-se com o grupo injetado com salina (0.1 ml; $n=3$).

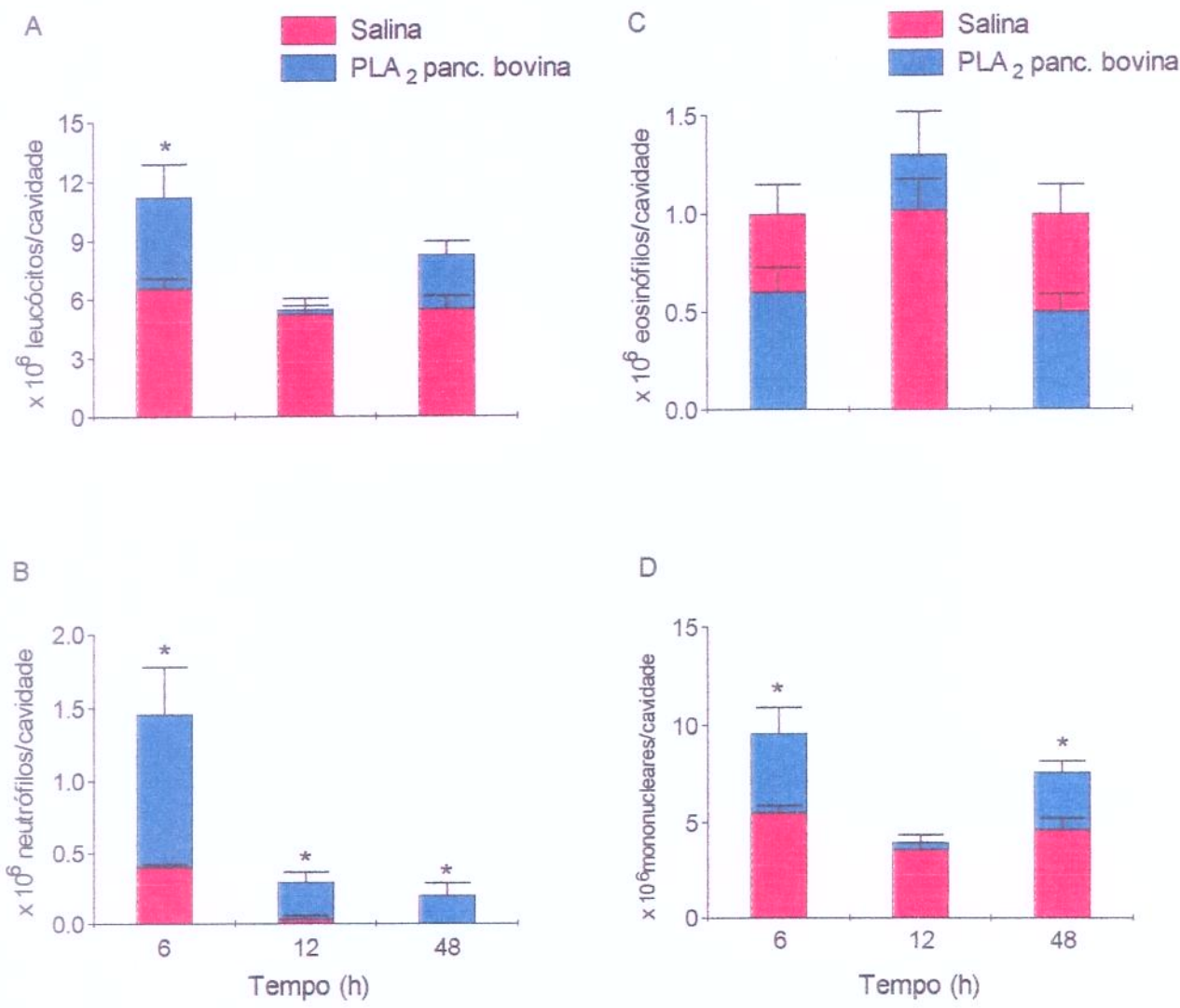


FIGURA 9 - Efeito da injeção intrapleural da sPLA₂ pancreática bovina (10 µg/cavidade) na migração de leucócitos totais (**Painel A**), neutrófilos (**Painel B**), eosinófilos (**Painel C**) e células mononucleares (**Painel D**) em intervalos de 6, 12 e 48 h após a injeção. Cada ponto representa a média de 6 ratos ± E.P.M.. * $p<0.05$, comparando-se com o grupo injetado com salina (0.1 ml; $n=3$).

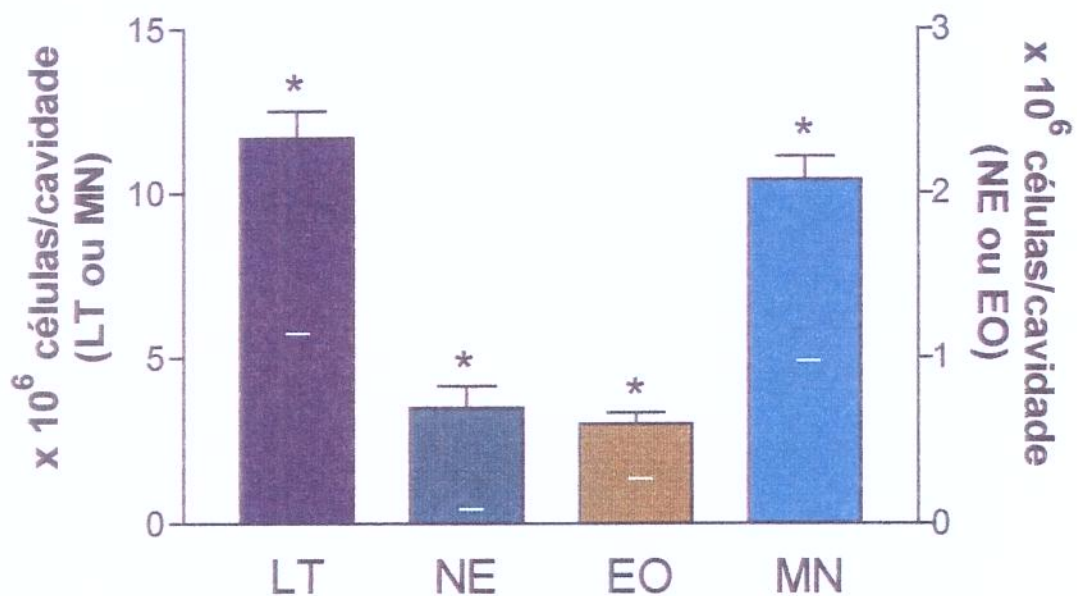


FIGURA 10 - Migração de leucócitos totais (LT), neutrófilos (NE), eosinófilos (EO) e células mononucleares (MN) para cavidade pleural 6 horas após a injeção intrapleural da PLA₂ pancreática bovina (100 µg/cavidade). Cada ponto representa a média de 6 ratos ± E.P.M.. * $p<0.05$, comparando-se com o grupo injetado com salina (0.1 ml; $n=3$).

3.3.3. Bothropstoxina-I (BthTX-I)

A injeção intrapleural da BthTX-I ($10 \mu\text{g}/\text{cavidade}$, $n=6$) induziu migração celular total ($p<0.05$) no intervalo de 12 h após a injeção, sendo esta resposta decorrente de influxo significativo de neutrófilos e células mononucleares (Figura 11).

Em 12 h, o influxo celular foi avaliado também para as doses de 30 e $100 \mu\text{g}/\text{cavidade}$ ($n=5$, Figura 12). Observamos que o influxo celular total e diferencial foi dependente da dose sendo a resposta máxima atingida com a dose de $30 \mu\text{g}/\text{cavidade}$. O infiltrado foi decorrente da migração pleural de neutrófilos, células mononucleares e eosinófilos.

Não houve formação significativa de exsudato pleural em nenhum período de tempo estudado para as três doses empregadas.

3.3.4. Bothropstoxina-II (BthTX-II)

A injeção intrapleural da BthTX-II ($10 \mu\text{g}/\text{cavidade}$, $n=6$) induziu migração leucocitária total significativa ($p<0.05$) nos tempos de 6 e 12 h após a injeção (Figura 13). A contagem total de leucócitos foi maior em 6 h, decaindo nos tempos seguintes. Esta resposta decorreu principalmente da migração de neutrófilos para cavidade pleural (Figura 13B). Nessa dose de BthTX-II, não observamos infiltrado significativo de eosinófilos e células mononucleares em quaisquer dos tempos estudados.

No intervalo de 6 h, também avaliamos o influxo celular para as doses de 30 e $100 \mu\text{g}/\text{cavidade}$ ($n=5$). O aumento da dose resultou em aumento da migração de leucócitos totais (Figura 14) devido à migração de neutrófilos, eosinófilos e células mononucleares (Figura 14). Com nenhuma das doses foi observada formação significativa de exsudato pleural.

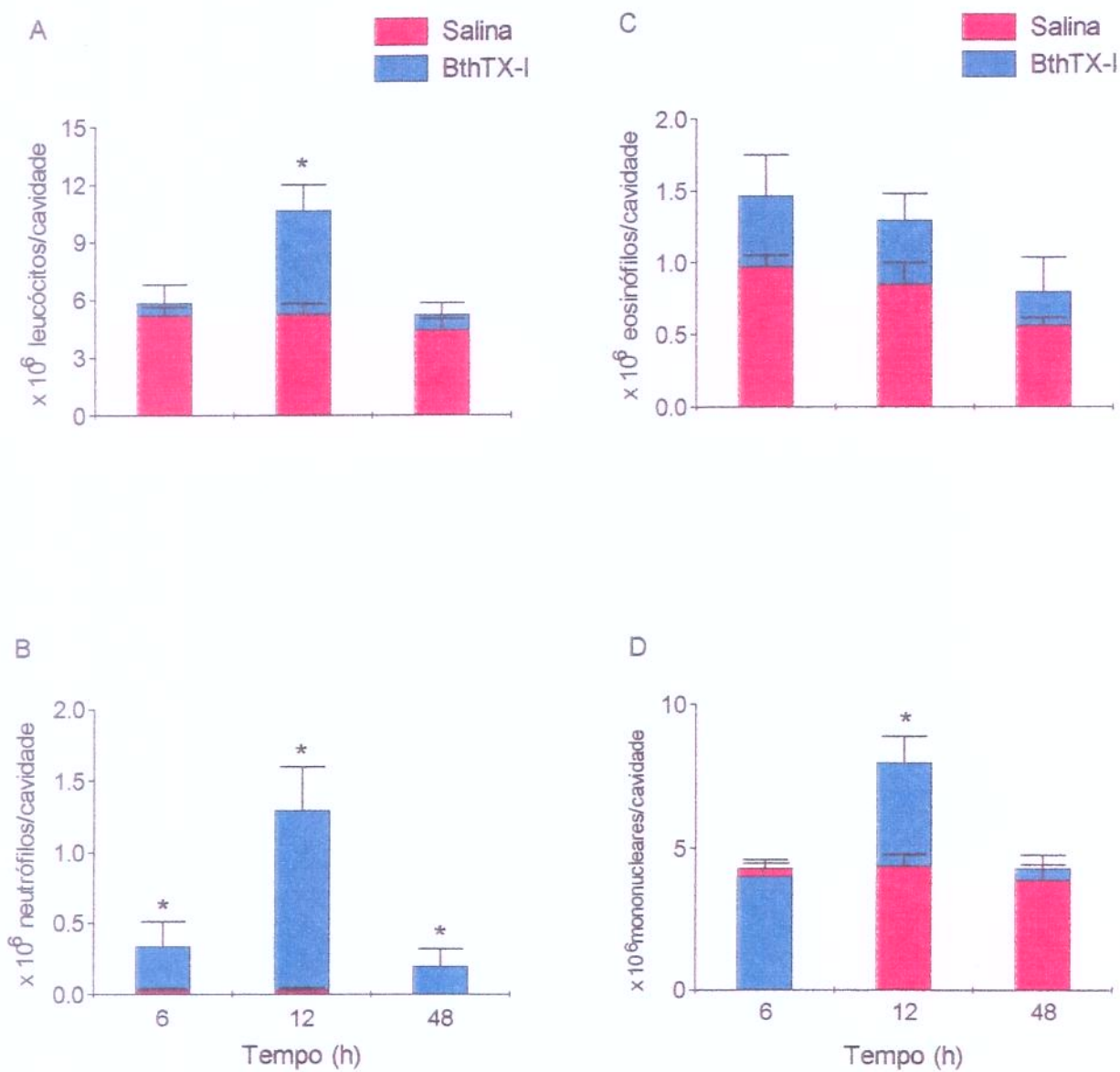


FIGURA 11 - Efeito da injeção intrapleural da BthTX-I (10 µg/cavidade) na migração de leucócitos totais (**Painel A**), neutrófilos (**Painel B**), eosinófilos (**Painel C**) e células mononucleares (**Painel D**) em intervalos de 6, 12 e 48 h após a injeção. Cada ponto representa a média de 6 ratos ± E.P.M.. * $p < 0.05$, comparando-se com o grupo injetado com salina (0.1 ml; $n=3$).

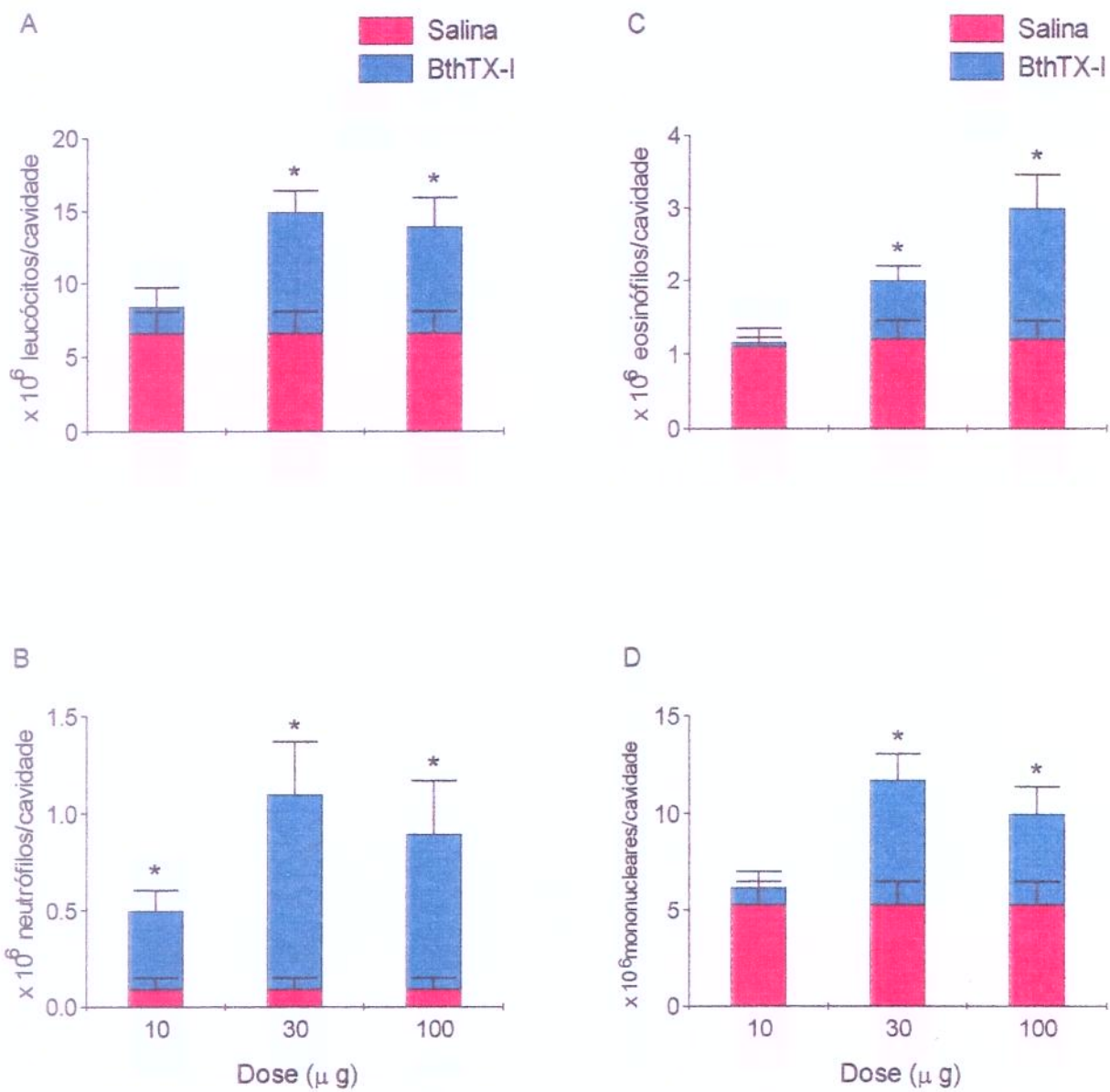


FIGURA 12 - Migração de leucócitos totais (**Painel A**), neutrófilos (**Painel B**), eosinófilos (**Painel C**) e células mononucleares (**Painel D**) após a injeção intrapleural da BthTX-I (12 h) nas doses de 10, 30 e 100 μ g/cavidade. Cada ponto representa a média de 5 ratos \pm E.P.M.. * $p<0.05$, significativo comparando-se com o grupo controle injetado com salina (0.1 ml; $n=4$).

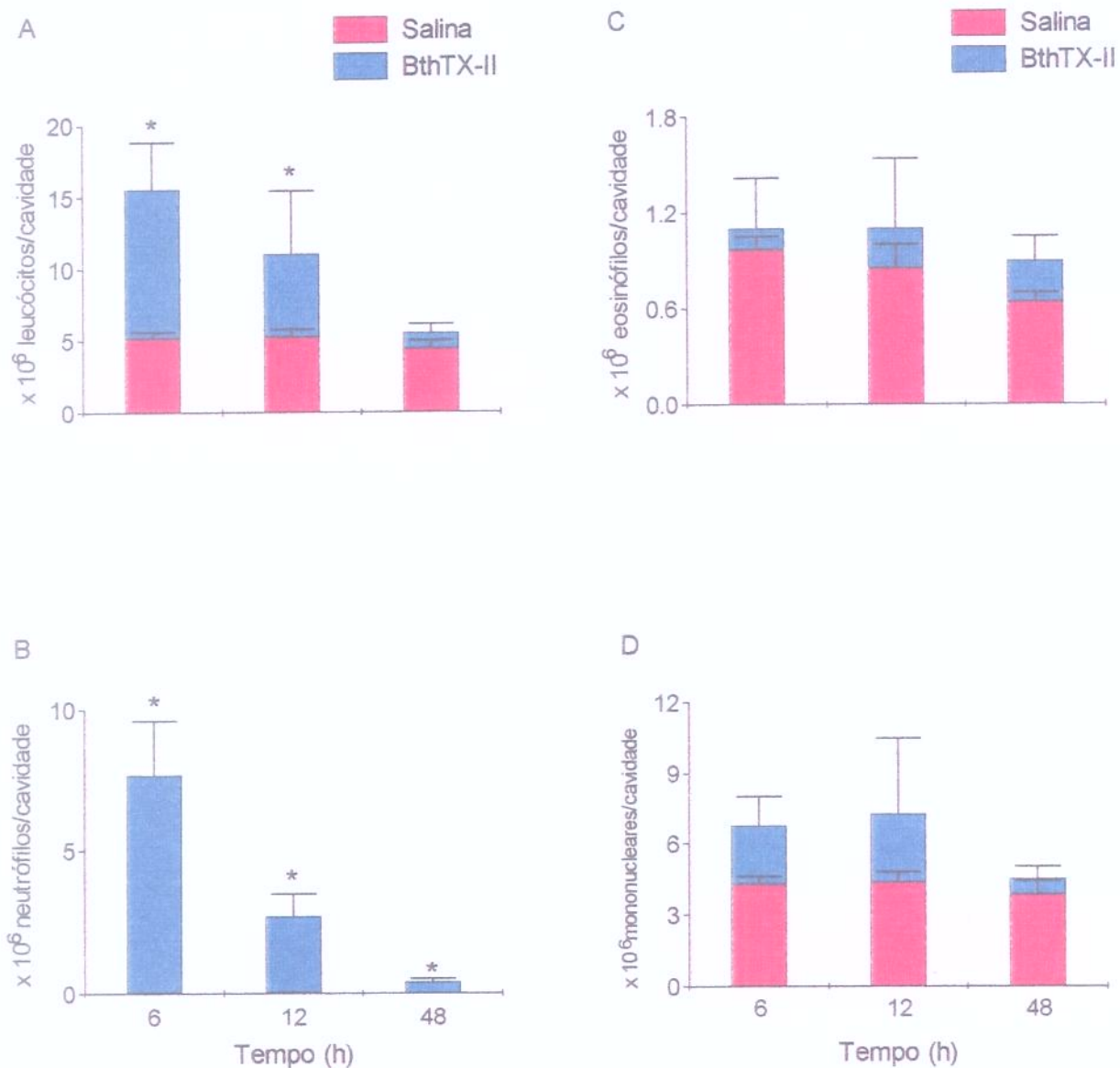


FIGURA 13 - Efeito da injeção intrapleural da BthTX-II (10 µg/cavidade) na migração de leucócitos totais (**Painel A**), neutrófilos (**Painel B**), eosinófilos (**Painel C**) e células mononucleares (**Painel D**) em intervalos de 6, 12 e 48 h após a injeção. Cada ponto representa a média de 6 ratos ± E.P.M.. * $p<0.05$, comparando-se com o grupo injetado com salina (0.1 ml; $n=4$).

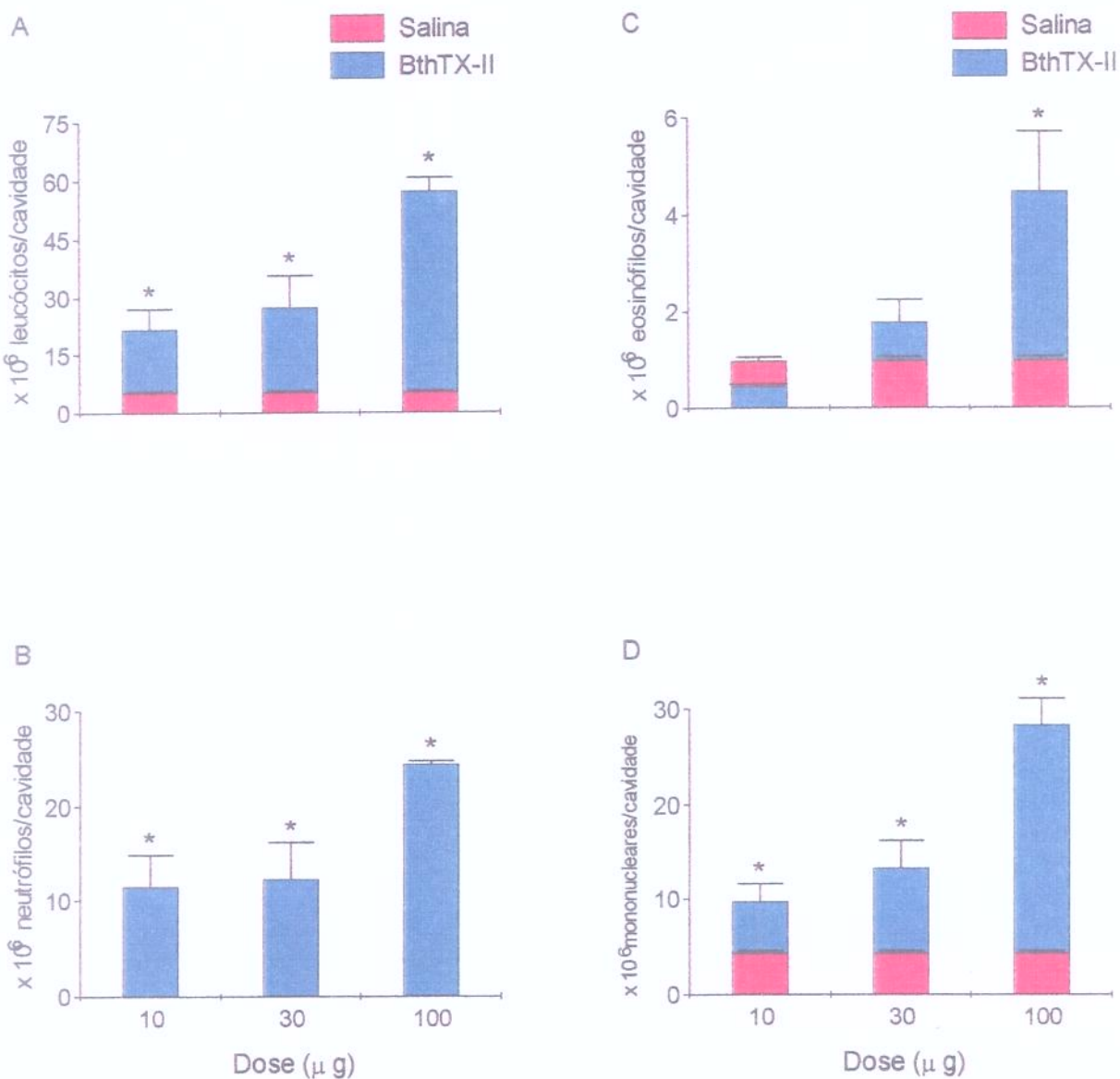


FIGURA 14 - Migração de leucócitos totais (**Painel A**), neutrófilos (**Painel B**), eosinófilos (**Painel C**) e células mononucleares (**Painel D**) após a injeção intrapleural da BthTX-II (6 h) nas doses de 10, 30 e 100 μ g/cavidade. Cada ponto representa a média de 4-5 ratos \pm E.P.M.. * $p<0.05$, significativo comparando-se com o grupo controle injetado com salina (0.1 ml; $n=3$).

3.3.5. Piratoxina-I (PrTX-I)

A injeção intrapleural da PrTX-I ($10 \mu\text{g}/\text{cavidade}$, $n=6$) induziu migração leucocitária significativa no intervalo de 12 h após a injeção (Figura 15) sendo esta migração resultante de influxo significativo de neutrófilos, células mononucleares e eosinófilos (Figura 15).

No intervalo de 12 h, a resposta foi avaliada também para as doses de 30 e 100 $\mu\text{g}/\text{cavidade}$ ($n=5$, Figura 16). O influxo celular máximo foi observado com a dose de 30 $\mu\text{g}/\text{cavidade}$. Com esta dose, observamos influxo de neutrófilos, células mononucleares e eosinófilos (Figura 16). Não houve formação de exsudato pleural nos períodos de tempo estudados e doses utilizadas.

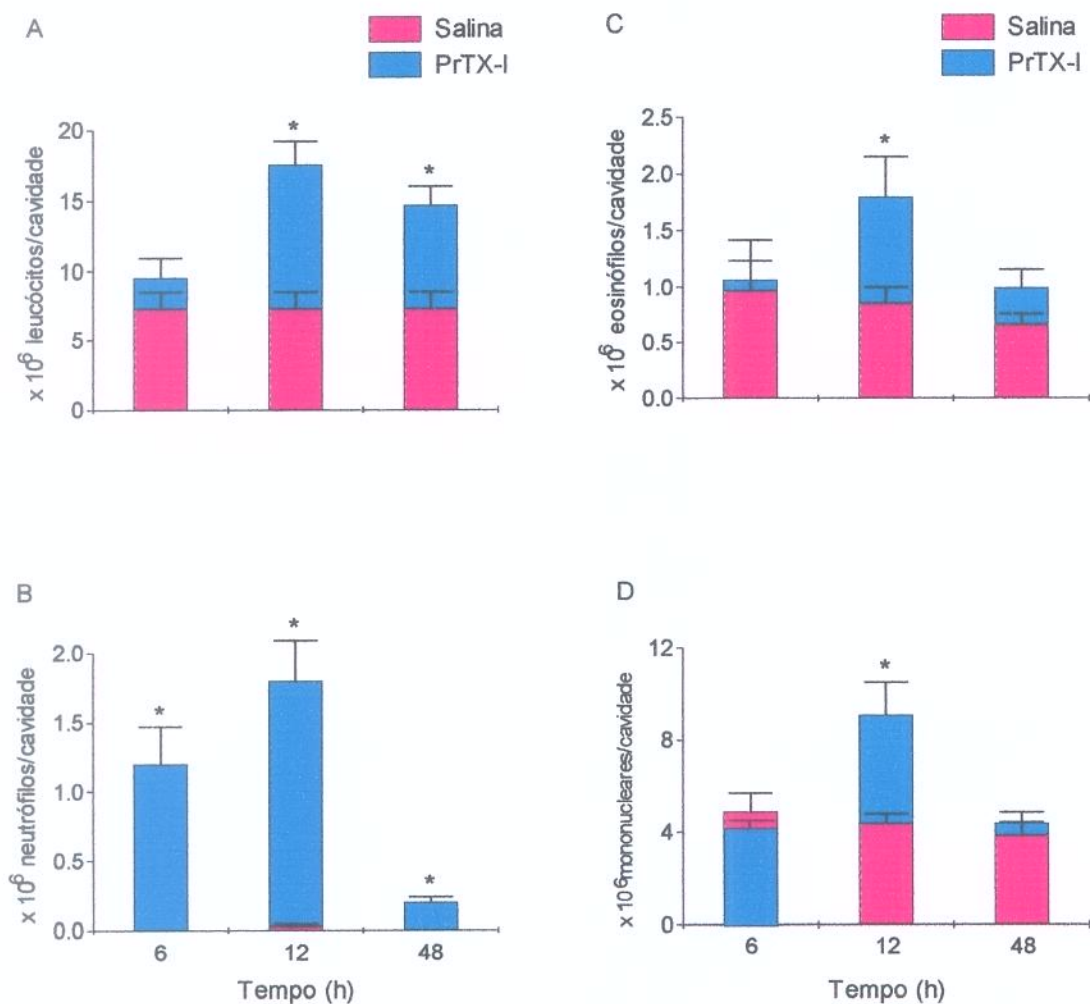


FIGURA 15 - Efeito da injeção intrapleural da PrTX-I ($10 \mu\text{g}/\text{cavidade}$) na migração de leucócitos totais (Painel A), neutrófilos (Painel B), eosinófilos (Painel C) e células mononucleares (Painel D) em intervalos de 6, 12 e 48 h após a injeção. Cada ponto representa a média de 5-6 ratos \pm E.P.M.. * $p<0.05$, comparando-se com o grupo injetado com salina (0.1 ml; $n=4$).

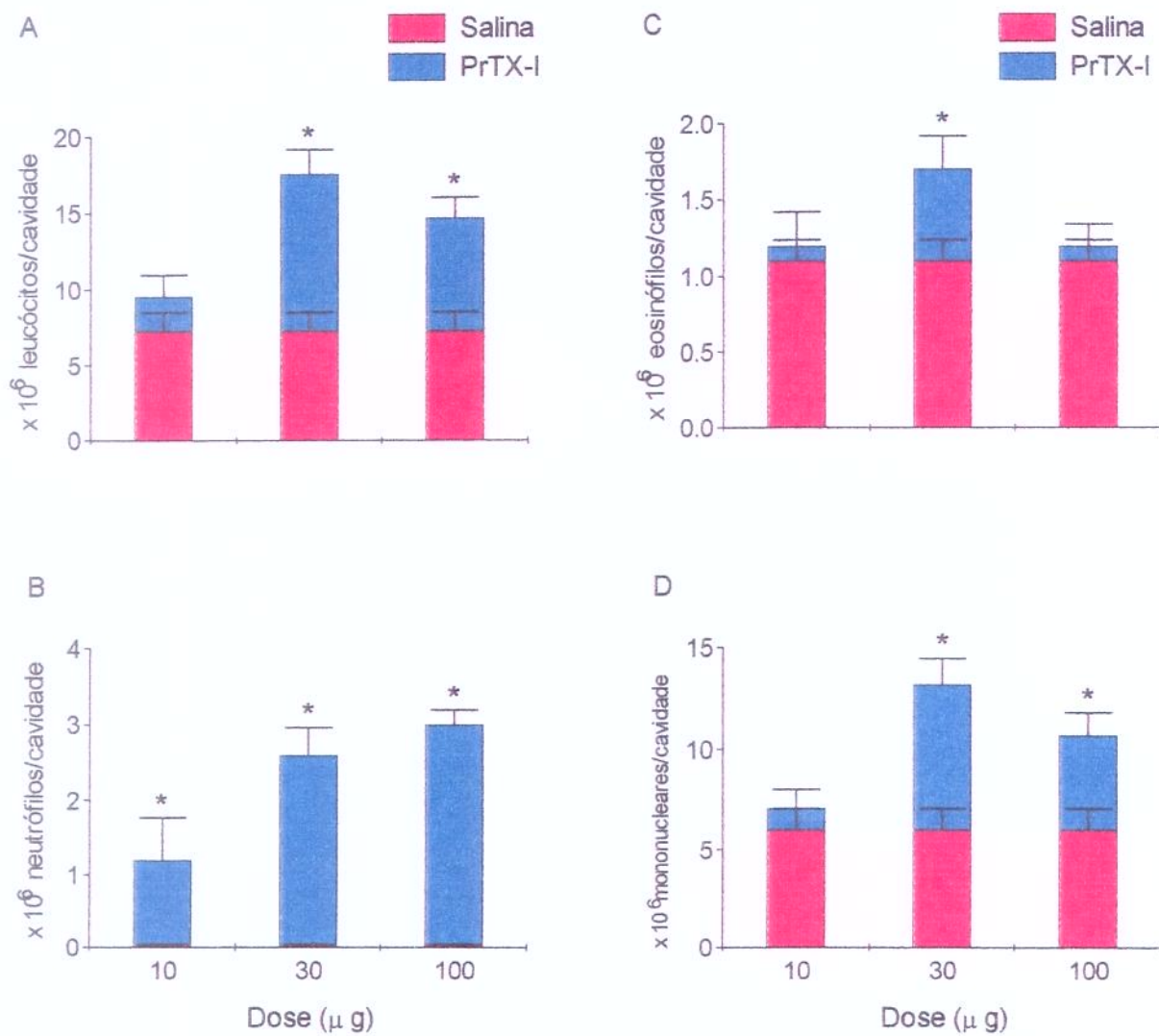


FIGURA 16 - Migração de leucócitos totais (**Painel A**), neutrófilos (**Painel B**), eosinófilos (**Painel C**) e células mononucleares (**Painel D**) após a injeção intrapleural da PrTX-I (12 h) nas doses de 10, 30 e 100 μ g/cavidade. Cada ponto representa a média de 5-6 ratos \pm E.P.M.. * $p<0.05$, significativo comparando-se com o grupo controle injetado com salina (0.1 ml; $n=4$).

3.3.6. Efeito do brometo de ρ -bromofenacil (ρ -BPB) na pleurisia induzida pela sPLA₂ do veneno de *Naja naja*, BthTX-I, BthTX-II e PrTX-I

O tratamento com o ρ -BPB (veja secção de Métodos) foi efetivo visto que reduziu significativamente ($p<0.05$) a atividade enzimática da sPLA₂ de *Naja naja* e BthTX-II (Tabela 1).

A Tabela 2 mostra que o tratamento prévio da sPLA₂ do veneno de *Naja naja* (10 $\mu\text{g}/\text{cavidade}$, 6 h; $n=5$) com o inibidor enzimático ρ -BPB não causou redução significativa no conteúdo de leucócitos totais, neutrófilos, células mononucleares e eosinófilos quando comparada com o tratamento controle ($n=4$).

A Tabela 2 mostra também que o tratamento prévio da BthTX-I (30 $\mu\text{g}/\text{cavidade}$, 12 h; $n=5$) e BthTX-II (30 $\mu\text{g}/\text{cavidade}$, 6 h; $n=5$) com o ρ -BPB não modificou o influxo celular total e diferencial em relação aos respectivos controles. O tratamento da PrTX-I (30 $\mu\text{g}/\text{cavidade}$, 12 h; $n=5$) com o ρ -BPB resultou em inibição parcial, porém significativa ($p<0.05$), da migração celular induzida por esta enzima (Tabela 2).

TABELA 1 - Atividade enzimática das sPLA₂s controle e tratadas com brometo de ρ -bromofenacil (ρ -BPB).

sPLA ₂	Atividade enzimática (θ D.O. / min / μg)	
	- ρ -BPB	+ ρ -BPB
veneno de <i>Naja naja</i>	1.560	0.062 *
bothropstoxina-II	0.012	0.000
bothropstoxina-I	0.000	0.000
piratoxina-I	0.000	0.000

Os resultados expressam a variação de densidade ótica (θ D.O.; diminuição da absorbância em relação ao basal) por minuto por μg de proteína. Cada ponto representa a média de três determinações. * $p<0.05$, comparando-se com o respectivo controle.

TABELA 2 - Efeito do brometo de ρ -bromofenacil (ρ -BPB) sobre a migração de leucócitos totais, neutrófilos, eosinófilos e células mononucleares após a injeção intrapleural da sPLA₂ do veneno de *Naja naja*, bothropstoxina-I (BthTX-I), bothropstoxina-II (BthTX-II) e piratoxina-I (PrTX-I).

sPLA ₂	Leucócitos (x 10 ⁶ / cavidade)	Controle	+ ρ -BPB
veneno de <i>Naja naja</i> (5 µg/cavidade; 6 h) <i>n</i> =4-6	LT	31.9 ± 4.91	23.4 ± 3.78
	NE	16.6 ± 2.12	12.0 ± 2.26
	EO	0.9 ± 0.11	0.8 ± 0.14
	MN	14.3 ± 3.04	10.6 ± 2.46
BthTX-I (30 µg/cavidade; 12 h) <i>n</i> =5	LT	19.2 ± 2.06	18.9 ± 3.47
	NE	3.8 ± 0.36	3.2 ± 0.33
	EO	2.2 ± 0.54	2.1 ± 0.45
	MN	13.2 ± 1.72	13.5 ± 2.71
BthTX-II (30 µg/cavidade; 6 h) <i>n</i> =5	LT	25.1 ± 1.80	21.3 ± 2.46
	NE	7.8 ± 1.01	5.2 ± 0.90
	EO	1.6 ± 0.44	1.4 ± 0.29
	MN	15.8 ± 0.82	14.6 ± 1.59
PrTX-I (30 µg/cavidade; 12 h) <i>n</i> =5	LT	27.8 ± 2.5	19.3 ± 1.60 *
	NE	7.4 ± 0.85	4.4 ± 0.49 *
	EO	2.7 ± 0.18	2.1 ± 0.35
	MN	17.7 ± 2.18	12.9 ± 1.44

Os resultados representam o número de células/cavidade e estão expressos como Média ± E.P.M. * $p<0.05$, comparando-se com o respectivo controle. LT, leucócitos totais; NE, neutrófilos; EO, eosinófilos; MN, células mononucleares.

3.3.7. Envolvimento de mastócitos na pleurisia induzida pela sPLA₂ do veneno de *Naja naja*, BthTX-I, BthTX-II e PrTX-I

3.3.7.1. Efeito da ciproheptadina

O tratamento prévio dos animais com o antagonista do receptor de histamina/serotonina, ciproheptadina (10 mg/kg, i.p., 30 min antes da injeção intrapleural) não alterou a migração total e diferencial induzida pela sPLA₂ de *Naja naja* ($n=5$ -6; Tabela 3). A dose empregada de ciproheptadina foi eficiente uma vez que reduziu marcentemente o edema de pata induzido pelo composto 48/80 (3 µg/pata; 0.80 ± 0.03 ml e 0.24 ± 0.01 ml, 30 min após a injeção de 48/80, animais controle e tratados respectivamente, $n=5$; $p<0.05$).

A tabela 3 mostra também que o tratamento prévio dos animais com ciproheptadina (10 mg/kg, i.p., 30 min antes da injeção intrapleural) não alterou significativamente a migração induzida pela BthTX-II em 6 h (30 µg/cavidade, $n=5$).

3.3.7.2. Depleção dos estoques de histamina e 5-HT

A depleção dos estoques de histamina/5-HT foi realizada injetando-se diariamente por 5 dias consecutivos o composto 48/80 (veja a seção de Materiais e Métodos). Notamos que a depleção foi efetiva uma vez que o edema de pata induzido pelo composto 48/80 (3 µg/pata, $n=4$) foi abolido no grupo tratado com este composto (1.03 ± 0.06 ml e 0.10 ± 0.03 ml para grupo controle e depletado em 15 min, respectivamente).

A depleção dos estoques de histamina e 5-HT não alterou a migração leucocitária total induzida pela BhtTX-I (30 µg/cavidade, $n=8$; Tabela 4). Em relação à migração diferencial, não houve diferença significativa quanto ao número de neutrófilos. No entanto, houve um redução parcial, porém significativa, do número de células mononucleares ($p<0.05$). Curiosamente, o grupo depletado apresentou aumento significativo ($p<0.05$) no número de eosinófilos. A possibilidade do aumento do número de eosinófilos ter sido decorrente do tratamento prolongado com 48/80 foi descartada uma vez que a depleção dos estoques de histamina e 5-HT não alterou o número de leucócitos totais e diferenciais contados 12 h após a injeção de salina estéril (0.1 ml) na cavidade pleural.

Com relação à BthTX-II e PrTX-I, a depleção de histamina e 5-HT não alterou a migração leucocitária total e diferencial induzida por estas sPLA₂s (30 µg/cavidade, $n=6$ -8; Tabela 4).

TABELA 3 - Efeito da ciproheptadina (10 mg/kg, i.p., 30 min antes) sobre a migração de leucócitos totais, neutrófilos, eosinófilos e células mononucleares 6 h após a injeção intrapleural da sPLA₂ do veneno de *Naja naja* e bothropstoxina-II (BthTX-II).

SPLA ₂	Leucócitos (x 10 ⁶ / cavidade)	Controle	Ciproheptadina
veneno de <i>Naja naja</i> (5 µg/cavidade) <i>n</i> =5	LT	32.1 ± 6.37	37.5 ± 2.08
	NE	13.1 ± 2.18	18.2 ± 1.09
	EO	2.9 ± 1.20	1.4 ± 0.27
	MN	16.1 ± 3.41	17.9 ± 1.26
BthTX-II (30 µg/cavidade) <i>n</i> =5-6	LT	24.8 ± 2.96	17.5 ± 2.04
	NE	12.2 ± 2.26	8.0 ± 0.90
	EO	1.3 ± 0.14	0.9 ± 0.18
	MN	11.2 ± 1.39	8.6 ± 1.18

Os resultados representam o número de células/cavidade e estão expressos como Média ± E.P.M.. LT, leucócitos totais; NE, neutrófilos; EO, eosinófilos; MN, células mononucleares.

TABELA 4 - Efeito da depleção do estoque de histamina/5-HT pelo tratamento diário com o composto 48/80 sobre a migração de leucócitos totais, neutrófilos, eosinófilos e células mononucleares após a injeção intrapleural da bothropstoxina-I (BthTX-I), bothropstoxina-II (BthTX-II) e piratoxina-I (PrTX-I).

SPLA ₂	Leucócitos (x 10 ⁶ / cavidade)	Controle	Depletado
BthTX-I (30 µg/cavidade; 12 h) <i>n=5-6</i>	LT	12.2 ± 0.75	11.0 ± 0.59
	NE	1.3 ± 0.16	1.6 ± 0.26
	EO	1.3 ± 0.10	2.4 ± 0.16 *
	MN	9.6 ± 0.55	7.0 ± 0.61 *
BthTX-II (30 µg/cavidade; 6 h) <i>n=5</i>	LT	18.3 ± 1.20	21.1 ± 2.35
	NE	7.1 ± 0.74	10.1 ± 2.20
	EO	1.2 ± 0.23	1.8 ± 0.15
	MN	10.0 ± 0.57	9.1 ± 0.75
PrTX-I (30 µg/cavidade; 12 h) <i>n=8</i>	LT	16.4 ± 0.34	15.5 ± 0.39
	NE	4.2 ± 0.90	4.2 ± 0.37
	EO	2.1 ± 0.38	2.5 ± 0.36
	MN	10.2 ± 0.51	8.7 ± 0.68

Os resultados representam o número de células/cavidade e estão expressos como Média ± E.P.M.. * $p<0.05$, comparando-se com o respectivo controle. LT, leucócitos totais; NE, neutrófilos; EO, eosinófilos; MN, células mononucleares.

4. DISCUSSÃO

No presente estudo demonstramos que a PrTX-I foi capaz de promover aumento de permeabilidade vascular em pele e pata de rato, levando à formação de edema. Este efeito foi devido à degranulação *in vivo* de mastócitos com consequente liberação de serotonina e histamina, visto que o pré-tratamento dos animais com ciproheptadina praticamente aboliu a atividade edematogênica desta sPLA₂. Além disso, o fato desta substância ser capaz de ativar mastócitos *in vitro* confirma os resultados observados *in vivo*. Estes resultados estão de acordo com aqueles encontrados por Landucci *et al.* (1998) para duas sPLA₂s isoladas do veneno de *Bothrops jararacussu* e com aqueles de Cirino *et al.* (1989) obtidos para sPLA₂s de diversas fontes.

Moreno *et al.* (1992) e Lloret *et al.* (1993) sugeriram que a formação de edema, induzida pelas sPLA₂s, está ligada à atividade enzimática destas enzimas. No entanto, nossos resultados demonstraram que a PrTX-I, uma sPLA₂ enzimaticamente inativa, induziu edema de pata e pele em ratos comparado às sPLA₂s enzimaticamente ativas, utilizadas por aqueles autores. Estes dados sugerem que a hidrólise de fosfolipídeos pelas sPLA₂s não é essencial para formação de edema confirmando os resultados encontrados por Landucci *et al.* (1998) para as bothropstoxinas. De fato, muitos efeitos farmacológicos induzidos por sPLA₂s purificadas de veneno não dependem da atividade enzimática destas enzimas (Kini & Evans, 1989).

O ρ -BPB atua como inibidor enzimático das sPLA₂s e é largamente empregado para investigar a correlação entre atividade enzimática e farmacológica das sPLA₂s (Yang, 1994). Este composto promove uma alquilação do resíduo de His-48 do sítio catalítico destas enzimas (Volwerk *et al.*, 1974). Apesar da PrTX-I ser desprovida de atividade enzimática por ser uma sPLA₂ Lys-49, esta sPLA₂ mantém o resíduo His-48. Assim, investigamos o efeito do ρ -BPB na atividade pró-inflamatória da PrTX-I. Nossos resultados demonstraram que este composto foi capaz de reduzir acentuadamente, tanto a formação de edema, quanto a degranulação de mastócitos *in vitro* induzidos pela PrTX-I. A hipótese desta inibição ter sido decorrente da desnaturação da PrTX-I durante o tratamento com o ρ -BPB foi descartada uma vez que foi realizado o devido controle. Resultados semelhantes foram observados para outras sPLA₂s inativas enzimaticamente. Diaz *et al.* (1993) demonstraram que a reação da miotoxina II, uma sPLA₂ enzimaticamente inativa isolada do veneno de *Bothrops asper*, com o ρ -BPB reduziu sua atividade miotóxica. Recentemente, Landucci *et al* (1998) demonstraram que o ρ -BPB reduz marcadamente a atividade edematogênica da BthTX-I e BthTX-II em ratos apesar das mesmas apresentarem atividade enzimática nula ou baixa,

respectivamente. Estes dados sugerem que, ao lado da alquilação da His-48 e consequente inibição enzimática das sPLA₂s, o ρ -BPB pode ter um efeito adicional na atividade farmacológica destas enzimas. Como vários estudos já comprovaram a existência de receptores para as sPLA₂s (Arita *et al.*, 1991; Lambeau *et al.*, 1994; Ancian *et al.*, 1995), nossos resultados sugerem que o resíduo de histidina-48 da PrTX-I deve participar de seu sítio farmacológico, ou seja, ter importância na ligação da PrTX-I a um possível receptor. Desta maneira, nós sugerimos cautela quanto ao uso do ρ -BPB como ferramenta para avaliar o papel da atividade enzimática nos efeitos biológicos induzidos pelas sPLA₂s.

Compostos ricos em cargas catiônicas como a poliarginina e a polilisina ativam mastócitos de rato *in vitro* (Coleman *et al.*, 1981) e *in vivo* (Antunes *et al.*, 1990; Santana *et al.*, 1993) e este efeito é largamente reduzido por moléculas polianiônicas incluindo a heparina e seus análogos. A ativação de mastócitos pelos policátions acontece pela interação eletrostática destes com os sítios aniónicos constituintes da membrana plasmática destas células, principalmente os glicosaminoglicanos sulfatados (Shwartz, 1994). As sPLA₂s do grupo II são proteínas básicas e seus sítios catiônicos podem se associar com a superfície celular via glicosaminoglicanos (Murakami *et al.*, 1993; Sartipy *et al.*, 1996). Além disso, têm sido demonstrado que glicosaminoglicanas da família da heparina são capazes de formar complexos com sPLA₂s como a miotoxina II purificada do veneno de *Bothrops asper* (Lomonte *et al.*, 1994a) e BthTX-I purificada do veneno de *Bothrops jararacussu* (Melo *et al.*, 1993) anulando, assim, a atividade miotóxica destas enzimas. Assim, investigamos o efeito da heparina na atividade pró-inflamatória da PrTX-I. Nossos resultados mostraram que a heparina inibiu a degranulação de mastócitos pela PrTX-I tanto *in vitro* quanto *in vivo* sugerindo que as cargas catiônicas presentes nesta molécula são o principal fator responsável por suas propriedades farmacológicas. Resultados similares foram encontrados para sPLA₂s de outros venenos como o de *Trimeresurus mucrosquamatus* (Wang e Teng, 1990) e *Bothrops jararacussu* (Landucci *et al.*, 1998).

Diante do exposto, parece existir grande contraste quanto aos resultados acima apresentados e aqueles obtidos por Choi *et al.* (1989) e Lloret *et al.* (1993), pois estes últimos demonstraram que a degranulação de mastócitos induzido por sPLA₂ do veneno de *Naja naja* é dependente da atividade enzimática desta enzima. Vale ressaltar que a sPLA₂ do veneno de *Naja naja* é uma enzima do grupo I e, portanto, bioquimicamente distinta da PrTX-I que pertence ao grupo II. Dessa forma, acreditamos que estas diferenças possam ser decorrentes deste fato. Com isso, consideramos que, como ferramenta farmacológica para investigar o papel da sPLA₂ do grupo II identificada em doenças inflamatórias humanas, os resultados obtidos com a PrTX-I e outras sPLA₂s do grupo II possa contribuir mais que aqueles encontrados para as sPLA₂s do grupo I.

De fato, nossos dados são semelhantes àqueles encontrados por Murakami *et al.* (1993) que estudaram a degranulação de mastócitos induzida pela sPLA₂ do grupo II purificada de plaquetas de rato. Estes autores demonstraram que os sítios de ligação desta enzima com a heparina são importantes para degranulação de mastócitos uma vez que este polianion inibiu significativamente este efeito. Além disso, mostraram também que o sítio catalítico é essencial para a degranulação induzida por esta enzima, uma vez que o inibidor enzimático ρ -BPB e um anticorpo que reconhece o sítio catalítico desta enzima reduziram de forma significativa a degranulação. Curiosamente, os autores sugerem que a atividade enzimática desta sPLA₂ não deve ser importante neste processo uma vez que não houve aumento da produção de PGD₂ e nem requerimento de Ca⁺⁺ quando os mastócitos foram estimulados pela sPLA₂. Considerando a ação inibitória do ρ -BPB sobre o edema induzido pela PrTX-I, os resultados encontrados por Murakami *et al.* (1993) poderiam ser explicados da mesma forma, ou seja, o resíduo de His-48 (complexado pelo ρ -BPB ou pelo anticorpo), além de fundamental para atividade enzimática, deve ser importante para um possível sítio farmacológico desta enzima.

Fonteh *et al.* (1994) estudaram a participação da sPLA₂ endógena na degranulação de mastócitos induzida pela interação antígeno (anti-dinitrofenol) - anticorpo (IgE). Estes autores demonstraram que a ativação de mastócitos de medula óssea por antígenos leva à rápida liberação de ácido araquidônico (Fonteh *et al.*, 1993) decorrente da liberação de sPLA₂ do grupo II pelo mastócito. Além disso, mostraram que a sPLA₂ recombinante humana do grupo II (rPLA₂) induziu a geração de eicosanoides no sobrenadante da cultura de mastócitos. No entanto, os próprios autores não descartam a possibilidade da produção de eicosanoides ser devido à ativação da cPLA₂, também presente em mastócitos.

Por outro lado, é surpreendente notar que a rPLA₂ não foi edematogênica em ratos (Morgan *et al.*, 1993; Cirino *et al.*, 1994a), o que sugere que a rPLA₂ *per se* não é capaz de induzir degranulação de mastócitos do tecido subplantar de ratos. Este dado contrapõe os resultados da ação da rPLA₂ em mastócitos peritoneais encontrados por Fonteh *et al.* (1993).

Em conclusão, nossos resultados sugerem que a atividade edematogênica das sPLA₂ não está necessariamente ligada à atividade enzimática destas enzimas uma vez que a PrTX-I induziu formação de edema e degranulação de mastócitos à semelhança de outras sPLA₂s enzimaticamente ativas. O efeito da PrTX-I parece ser decorrente de um possível sítio farmacológico presente nesta sPLA₂, formado principalmente por cargas catiônicas distribuídas na molécula, sendo uma delas formada pelo resíduo de His-48.

Além da formação de edema e degranulação de mastócitos, a migração celular induzida pelas sPLA₂s também foi objeto de estudo deste trabalho. Assim, demonstramos que tanto as sPLA₂s de

Naja naja, pancreática bovina e BthTX-II (ativas enzimaticamente), como a BthTX-I e piratoxina-I (destituídas de atividade enzimática), induziram migração leucocitária para cavidade pleural de ratos de forma dose e tempo-dependentes, porém com diferenças quanto ao perfil da migração.

Nos tempos em que o infiltrado celular foi medido (6, 12 e 48 h), a sPLA₂ pancreática, do veneno de *Naja naja* e a BthTX-II, induziram um maior grau de migração em 6 h, sendo que o infiltrado celular foi constituído, principalmente, por neutrófilos e células mononucleares. Entretanto, o pico de infiltração celular induzido pela BthTX-I e PrTX-I foi em 12 h e formado, tanto por células mononucleares e neutrófilos, como também por eosinófilos. Além disso, a magnitude do efeito da sPLA₂ do veneno de *Naja naja* e da BthTX-II foi maior do que a da BthTX-I, PrTX-I e sPLA₂ pancreática. Este fato poderia refletir a atividade catalítica destas enzimas. No entanto, quando comparamos a migração leucocitária induzida pela sPLA₂ de *Naja naja* e pela BthTX-II, observamos que a primeira é aproximadamente três vezes mais potente do que a segunda (ambas com pesos moleculares aproximado de 14 KDa). Porém, é conhecido que a atividade enzimática da sPLA₂ de *Naja naja* é muitas vezes maior que a da BthTX-II. Os dados de ensaio enzimático obtidos em nosso laboratório mostram essa diferença (Tabela 1). Assim, esperava-se que, em virtude de seu poder catalítico marcadamente maior, a sPLA₂ de *Naja naja* apresentasse um maior grau de potência com relação à migração celular o que, de fato, não ocorreu. Estes dados, juntamente com o fato das sPLA₂s enzimaticamente inativas BthTX-I e PrTX-I apresentarem efeito na migração celular, demonstram, a priori, que este efeito farmacológico também não é decorrente da atividade enzimática, mas provavelmente de outros fatores relacionados com a estrutura destas moléculas.

O resultado do tratamento destas enzimas com o brometo de ρ -bromofenacil confirmam esta hipótese. Este composto não alterou a migração induzida pela sPLA₂ de *Naja naja*, BthTX-I e BthTX-II. A hipótese de não ter ocorrido inibição da atividade enzimática da BthTX-II ou da sPLA₂ de *Naja naja* foi descartada uma vez que comprovamos esta inibição realizando ensaio enzimático após o tratamento (ver ítem 3.10.). Além disso, descartamos a possibilidade de alterações na estrutura proteica destas enzimas durante o tratamento uma vez que utilizamos para o controle dos experimentos as amostras que passaram pelo tratamento controle. Sendo assim, sugerimos que a hidrólise de fosfolipídeos por estas sPLA₂s não é essencial para a infiltração leucocitária para cavidade pleural.

Como já foi citado, nós temos sugerido que o resíduo de histidina-48 pode ser importante para atividade farmacológica das sPLA₂s, já que o ρ -BPB apresentou efeito inibitório em algumas atividades pró-inflamatórias da BthTX-I (Landucci *et al.*, 1998) e PrTX-I. Desta forma, estudamos o efeito deste composto na migração celular induzida pela BthTX-I e PrTX-I. Apesar do ρ -BPB não apresentar efeito na migração induzida pela BthTX-I, este composto reduziu parcialmente a

migração induzida pela PrTX-I. Este resultado contrapõe a observação de que o perfil da atividade farmacológica destas duas sPLA₂s Lis-49 apresenta um alto grau de semelhança. Sendo assim, é interessante notar que o resíduo de histidina-48 é importante na migração celular induzida pela PrTX-I e não pela BthTX-I e BthTX-II.

Nossos dados se opõem aos de outros estudos que demonstram que a atividade farmacológica da sPLA₂ do grupo II parece estar relacionada com sua atividade enzimática (Vadas *et al.*, 1986; Vadas *et al.*, 1989; Bomalaski *et al.*, 1991). Além disso, Lam *et al.* (1990) demonstraram que sPLA₂s de plaquetas humanas induzem a formação de leucotrienos em leucócitos polimorfonucleares humanos e, sugerem que os efeitos pró-inflamatórios celulares induzidos pela sPLA₂ humana poderiam ser o resultado da produção de eicosanóides tais como PGE₁ e LTB₄. Neste estudo, não foi aventada a possibilidade de coexistência de outras vias de liberação de ácido araquidônico uma vez que já é sabido da existência de várias formas de PLA₂ na mesma célula (Balsinde *et al.*, 1994; Murakami *et al.*, 1992a). Marshall *et al.* (1993) descreveram a coexistência da sPLA₂ e da cPLA₂ em neutrófilos. Além disso, Murakami *et al.* (1993) sugeriram que a sPLA₂ pode induzir a atividade da cPLA₂ em mastócitos.

Por outro lado, nossos resultados corroboram alguns estudos que não encontraram correlação entre a migração celular e a atividade enzimática das sPLA₂s. Cirino *et al.* (1994b) demonstraram que a sPLA₂ recombinante humana de fluido sinovial produziu infiltrado celular em modelo de "air pouch" em ratos e esta resposta não foi relacionada com produção de PGE₂, TxB₂, LTC₄ ou LTB₄. Utilizando o mesmo modelo experimental, Payá *et al.* (1995) demonstraram que o *scalaradial*, um inibidor específico para sPLA₂, foi capaz de inibir parcialmente a migração leucocitária induzida pelo zimosan, sem alterar de modo significativo a produção de prostaglandinas. Dessa maneira, sugeriram que a sPLA₂ participa no fenômeno da migração celular, mas que a produção de eicosanóides ocorre independentemente desta enzima. Neste sentido, observaram que o pico da migração celular coincidiu com a atividade máxima da sPLA₂ (8 h), enquanto que a produção de eicosanóides atingiu o máximo em 4 h. Resultados semelhantes foram encontrados por Tesson *et al.* (1993) que demonstraram, usando o modelo de pleurisia induzida por carragenina ou zimosan em ratos, que a liberação de TxB₂ é consequência da atividade de uma PLA₂ associada à membrana celular e não da presença da sPLA₂ no exsudato inflamatório. Uma vez que a atividade catalítica destas enzimas parece não ser essencial para indução de migração celular, torna-se importante estabelecer os prováveis mecanismos envolvidos neste efeito farmacológico.

Landucci *et al.* (1998) demonstraram que a ciproheptadina foi capaz de inibir completamente a formação de edema em pata e pele de ratos induzida pela BthTX-I e BthTX-II. O mesmo resultado foi observado para a PrTX-I no presente estudo e para sPLA₂ do veneno de *Naja naja* e pancreática

porcina (Lloret *et al.*, 1993). Também demonstramos, neste estudo, que a degranulação de mastócitos peritoneais pelas bothropstoxinas e piratoxina-I não está necessariamente ligado à atividade catalítica. Estes dados sugerem que estas sPLA₂s poderiam induzir migração leucocitária através da degranulação de mastócitos pleurais. Martins *et al.* (1990) estudaram a migração de leucócitos induzida por composto 48/80, um agente capaz de degranular mastócitos. Estes autores demonstraram que, em 6 h, existe uma migração significativa de células mononucleares e neutrófilos e, em 24 h, observa-se uma migração significativa de eosinófilos. Além disso, verificaram que as duas fases da resposta (6 e 24 h) são dependentes da degranulação de mastócitos. Em relação à segunda fase, em particular, demonstraram que esta migração é dependente do fator quimiotático para eosinófilo, uma proteína solúvel sintetizada e liberada por mastócitos estimulados pelo 48/80.

Nossos resultados demonstram que o tratamento prolongado com 48/80 não alterou a migração leucocitária induzida pela BthTX-I, BthTX-II e PrTX-I. A eficácia do tratamento foi confirmada conduzindo um experimento paralelo onde o edema de pata induzido pelo composto 48/80 estava inibido. Sendo assim, ao contrário do aumento de permeabilidade vascular, a migração leucocitária induzida por estas sPLA₂s aparentemente não depende da degranulação de mastócitos e a consequente liberação de mediadores quimiotáticos como o fator quimiotático para eosinófilo da anafilaxia e outros (Wasserman *et al.*, 1974; Oertel & Kaliner, 1981).

Por outro lado, é interessante notar que o tratamento prolongado com 48/80 provocou um aumento significativo do número de eosinófilos na pleurisia induzida pela BthTX-I. Este resultado poderia ser decorrente do próprio tratamento com 48/80 que estaria provocando um aumento no número basal de eosinófilos. No entanto, os resultados obtidos com a injeção de salina em animais depletados e controle mostraram que o tratamento prolongado dos animais não altera o número basal de eosinófilos da cavidade pleural. Sendo assim, acreditamos que o aumento observado tenha sido resultante de variações inerentes à própria metodologia.

Os diferentes resultados observados quanto ao perfil de inibição da heparina na degranulação de mastócitos do tecido subplantar, derme e peritôneo induzida pelas bothropstoxinas (Landucci *et al.*, 1998) e PrTX-I (presente estudo) sugerem que poderiam existir diferenças na degranulação de mastócitos pleurais e peritoneais por estas sPLA₂s, mesmo considerando que estas células pertencem à mesma população (tecido conjuntivo; Schwartz *et al.*, 1994). Desta forma, mastócitos pleurais poderiam não responder como os peritoneais frente às sPLA₂s. Sendo assim, estudamos a degranulação dos mastócitos pleurais em comparação com os peritoneais para as bothropstoxinas e PrTX-I. Os resultados demonstraram que estas sPLA₂s são equipotentes na degranulação destas duas populações de mastócitos. Além disso, a heparina e o ρ -BPB apresentaram o mesmo perfil de ação nestas populações. Dessa maneira, podemos considerar que os mastócitos pleurais respondem

essencialmente através dos mesmos mecanismos envolvidos na degranulação de mastócitos peritoneais frente às bothropstoxinas e PrTX-I. Com isso, descartamos a hipótese de que estas sPLA₂s não são capazes de induzir a degranulação de mastócitos pleurais.

A ausência de correlação entre degranulação de mastócitos e migração celular induzida pelas sPLA₂s observada no presente trabalho pode ser correlacionada com a sPLA₂ humana do tipo II. Apesar de ter sido demonstrado (Cirino *et al.*, 1994b) que a sPLA₂ recombinante humana de fluido sinovial produz infiltrado celular no modelo de “air pouch”, Murakami *et al.* (1990) demonstraram que a mesma enzima não induz edema de pata em ratos e, portanto, não promove degranulação de mastócitos. Sendo assim, parece que o efeito quimiotático desta enzima também é independente da degranulação de mastócitos.

Estes resultados indicam que a migração leucocitária induzida pelas sPLA₂s pode ser resultante da neoformação de mediadores quimiotáticos (LTB₄, PAF, citocinas) de tipos celulares como o macrófago presentes na cavidade pleural. Visto que a migração induzida por estas sPLA₂s não está necessariamente ligada à atividade catalítica das mesmas, sugerimos que a síntese destes possíveis mediadores estaria ocorrendo por um mecanismo independente da atividade fosfolipásica destas sPLA₂s. Alternativamente, a migração celular induzida pelas sPLA₂s poderia ser devido a uma ação direta destas enzimas nos fenômenos envolvidos neste processo tais como adesão às células endoteliais e quimiotaxia. Esta ação poderia ocorrer pela ativação de possíveis receptores para sPLA₂s presentes na superfície celular de leucócitos.

Assim, nossos dados demonstram que a atividade enzimática das sPLA₂s não é essencial para atividade farmacológica tais como aumento da permeabilidade e migração celular induzidos por estas enzimas. Além disso, confirmamos que o aumento de permeabilidade induzido pelas sPLA₂s é resultante da degranulação de mastócitos e consequente liberação de histamina/5-HT. No entanto, a migração leucocitária induzida pelas bothropstoxinas e piratoxina-I para cavidade pleural de ratos independe da degranulação dos mastócitos pleurais possivelmente pelo fato da degranulação não levar à liberação de quantidades suficientes de mediadores que poderiam exercer algum efeito quimiotático.

5. SUMMARY

Bothropstoxin I (BthTX-I) and Bothropstoxin II (BthTX-II) are sPLA₂s homologues with myotoxic activity isolated from *Bothrops jararacussu* venom. The former is devoided of enzymatic activity in egg yolk lecithin whereas the latter has low phospholipase activity in this substrate. Piratoxin-I (PrTX-I) is a PLA₂ homologue with myotoxic activity isolated from *Bothrops pirajai* venom. This sPLA₂ is also devoided of enzymatic activity. The aim of this study was to investigate the ability of PrTX-I, BthTX-I and BthTX-II to induce leucocyte migration compared with *Naja naja* PLA₂ (known to contain high enzymatic activity) and bovine pancreatic PLA₂ (known to contain intermediate enzymatic activity). We have also investigate the role of mast cells in the leucocyte migration induced by PrTX-I, BthTX-I and BthTX-II.

Leucocyte migration was determined through of the injection of sPLA₂s into the pleural cavity of male Wistar rats under ether anaesthesia. The animals were killed at 6, 12 and 48 h later and the pleural cavity rinsed with 5 ml of PBS containing heparin (20 IU/ml). Total and differential leucocyte counts were evaluated in the pleural exudate.

Naja naja PLA₂ (10 µg/cavity) and BthTX-II (30 µg/cavity) induced a dose- and time-dependent rat pleural leucocyte influx characterized by an early neutrophil and mononuclear cells infiltration (6 h). This migration was followed by a late eosinophil and mononuclear cells influx (12 h) in the *Naja naja* PLA₂- induced pleurisy. BthTX-I and PrTX-I (30 µg/cavity each) induced dose- and time-dependent rat pleural leucocyte influx characterized by an infiltration of neutrophils, eosinophils and mononuclear cells at 12 h. ρ -Bromophenacyl bromide (ρ -BPB), a compound known to inhibit phospholipase A₂ activity, abolished the enzymatic activity of *Naja naja* PLA₂ and BthTX-II but it had no effect on the pleurisy induced by *Naja naja* PLA₂, BthTX-I and BthTX-II. Interestingly, ρ -bromophenacyl partially reduced the PrTX-I-induced pleurisy. Previous treatment of the animals with cyproheptadine (10 mg/kg, i.p.) did not affect the pleurisy induced by *Naja naja* PLA₂ and BthTX-II. The depletion of histamine and 5-HT stores by repeated injections of compound 48/80 also failed to modify the pleurisy induced by BthTXs and PrTX-I. Our results demonstrate that pleurisy mediated by *Naja naja* PLA₂, BthTX-I, BthTX-II and PrTX-I is not dependent on pleural mast cell degranulation. Furthermore, hydrolysis of phospholipids by these sPLA₂s is not essencial for the pleural leucocyte infiltration.

In the second part of this study the aim was to investigate the ability of PrTX-I to induce local oedema formation in both rat paw and skin *in vivo*. The importance of their catalytic and cationic sites were evaluated using ρ -BPB and heparin, respectively.

Male Wistar rats were used. Paw oedema was induced by a subplantar injection of PrTX-I into the left hind-paw of animals and paw volume was measured using a hydroplethysmometer. Skin oedema formation was measured as the local accumulation of i.v. injected [¹²⁵I]-human serum albumin into the skin sites of anaesthetized rats (Sagatal; 30 mg/kg, i.p.). *In vitro* pleural and peritoneal mast cells degranulation was carried out by measuring the released [¹⁴C]5-HT using a β counter.

PrTX-I caused dose-dependent rat paw and skin oedema. These oedematogenic activity were largely reduced in animals pretreated with cyproheptadine (2 mg/Kg, i.p. 0.5 h before). Similarly, ρ -BPB significantly inhibited rat paw and skin oedema induced by PrTX-I. The polyanion heparin significantly reduced the paw oedema (50 IU/paw) as well as the skin oedema (5 IU/site) induced by PrTX-I. In addition, PrTX-I (100 μ g/ml) caused *in vitro* pleural and peritoneal mast cells degranulation. ρ -BPB and heparin (50 IU/ml) significantly inhibited the [¹⁴C]5-HT release induced by PrTX-I in both pleural and peritoneal mast cells.

Our results indicate that oedema formation induced by PrTX-I is mostly dependent on *in vivo* mast cell degranulation. Since heparin reduced the oedematogenic activity of this sPLA₂ homologue, it is likely that the cationic charge of this substance plays a role in the mast cell activation. Our results also indicate that ρ -bromophenacyl bromide may not be a suitable pharmacological tool to investigate the correlation between enzymatic activity and the inflammatory effects of phospholipases A₂.

6. REFERÊNCIAS BIBLIOGRÁFICAS

- Ahn, N.G.; Teller, D.C.; Bienkowski, M.J.; McMullen, B.A.; Lipkin, E.W. & de Haen, C. (1988). Sedimentation equilibrium analysis of five lipocortin-related phospholipase A₂ inhibitors from human placenta. Evidence against a mechanistically relevant association between enzyme and inhibitor. *J. Biol. Chem.*, **263**: 18657-18663.
- Amaral, C.F.S.; Silva, O.A.; Godoy, P. & Miranda, D. (1985). Renal cortical necrosis following *Bothrops jararaca* and *Bothrops jararacussu* snake bite. *Toxicon*, **23**: 877-885.
- Amaral, C.F.S.; Rezende, N.A.; Silva, O.A.; Ribeiro, M.M.F.; Magalhães, R.A.; Reis, R.J.; Carneiro, J.G. & Castro, J.R.S. (1986). Insuficiência renal aguda secundária a acidentes ofídicos Botrópico e Crotálico. Análise de 63 casos. *Rev. Inst. Med. Trop. São Paulo*, **28**: 220-227.
- Ancian, P.; Lambeau, G.; Mattei, M-G. & Lazdunski, M. (1995). The human 180-KDa receptor for secretory phospholipase A₂. *J. Biol. Chem.*, **270**(15): 8963-8970.
- Antunes, E.; Mariano, M.; Cirino, G.; Levi, S. & De Nucci, G. (1990). Pharmacological characterization of polycation-induced rat hind-paw oedema. *Br. J. Pharmacol.* **101**: 986-990.
- Arita, H.; Hanasaki, K.; Nakano, T.; Oka, S.; TeraoKa, H. & Matsumoto, K. (1991). Novel proliferative effect of phospholipase A₂ in Swiss 3T3 cells via specific binding site. *J. Biol. Chem.*, **266**(29): 19139-19141.
- Azevedo-Marques, M.M.; Cupo, P.; Coimbra, T.M.; Hering, S.E.; Rossi, M.A. & Laure, C.J. (1982). Myonecrosis, myoglobinuria and acute renal failure induced by South American rattlesnake (*Crotalus durissus terrificus* envenomation in Brazil). *Toxicon*, **23**: 631-636.
- Balsinde, J.; Baubour, S.E.; Bianco, I.D. & Dennis, E.A. (1994). Arachidonic acid mobilization in P388D₁ macrophages is controlled by two distinct Ca⁺⁺-dependent phospholipase A₂ enzymes. *Proc. Natl. Acad. Sci. U.S.A.*, **91**: 11060-11064.

Berkenkopf, J.W.; Marinari, L.R. & Weichman, B.M. (1991). Phospholipase A₂ acyl-hydrolytic activity in rat RPAR-induced pleurisy. *Agents and Action*, 34(1/2): 93-96.

Berridge, M.J. (1987). Inositol triphosphate and diacylglycerol: two interacting second messengers. *Ann. Rev. Biochem.*, 56: 159-193.

Bevilacqua, M.P.; Stengalin, S.; Gimbrone, M.A. & Seed, B. (1989). Endothelium leukocyte adhesion molecule-1: an inducible receptor for neutrophils related to complement regulatory proteins and lectins. *Science*, 243: 1160.

Blackwell, G.J. & Flower, R.J. (1983). Inhibition of phospholipase. *Br. Med. Bull.*, 39: 260-264.

Bomalaski, J.S.; Lawton, P. & Browning, J.L. (1991). Human extracellular recombinant phospholipase A₂ induces an inflammatory response in rabbit joints. *J. Immunol.*, 146: 3904-3910.

Bon, C.; Changeux, T.J. & Fraenkel-Conrat, H. (1979). Postsynaptic effects of crototoxin and of its isolated subunits. *Eur. J. Biochem.*, 99: 471-481.

Bon, C. (1982). Synergism of the two subunits of crototoxin. *Toxicon*, 2: 105-109.

Bonta, I.L.; Vargaftig, B.B. & Bohm, G.M. (1979). *Handbook of Experimental Pharmacology*, Vol. 52, pp. 629-683 (Lee, C.Y., Ed.). Berlin: Springer.

Bradford, M.M. (1976). A rapid and sensitive method for the quantification of microgram quantities of protein utilizing the principle of protein-dye binding. *Analyt. Biochem.* 72: 248-254.

Brain, S.; Lewis, G.P. & Whittle, B.J.R. (1977). Action of phospholipase A₂ on mast cell histamine release and paw oedema in the rat. *Br. J. Pharmacol.*, 59: 440P.

Brain, S.D. & Williams, T.J. (1985). Inflammatory oedema induced by synergism between calcitonin gene-related peptide (CGRP) and mediators of increased vascular permeability. *Br. J. Pharmacol.*, 86: 855-860.

Brazil, O.V. (1966). Pharmacology of crystalline crotoxin II. Neuromuscular blocking action. *Mem. Inst. Butantan*, 33: 981-992.

Bray, M.A.; Cunningham, F.M.; Ford-Hutchinson, A.W. & Smith, M.J.H. (1981). Leukotriene B₄: A mediator of vascular permeability. *Br. J. Pharmacol.*, 72: 483-486.

Canduri, F.; Mancuso, L.C.; Soares, A.M.; Giglio, J.R.; Ward, R.J. & Arni, R.K. (1998). Crystallization of piratoxin I, a myotoxic Lys49-phospholipase A₂ homologue isolated from the venom of *Bothrops pirajai*. *Toxicon*, 36(3): 547-551.

Choumet, V.; Saliou, B.; Fideler, L.; Chen, Y. & Gubensek, F. (1993). Snake-venom phospholipase A₂ neurotoxins. *Eur. J. Biochem.*, 211: 57-62.

Choi, S.H.; Sakamoto, T.; Fukutomi, O.; Inagaki, N.; Matsuura, N.; Nagai, H. & Koda, A. (1989). Pharmacological study of phospholipase A₂-induced histamine release from rat peritoneal mast cells. *J. Pharmacobio-Dyn.*, 12: 517-522.

Cintra, A.C.O.; Marangoni, S.; Oliveira, B. & Giglio, J.R. (1993). Bothropstoxin-I: amino acid sequence and function. *J. Prot. Chem.*, 12: 57-64.

Cirino, G.; Peers, S.H.; Flower, R.J.; Browning, J.L. & Pepinsky, R.B. (1989). Human recombinant lipocortin 1 has acute local anti-inflammatory properties in the rat paw edema test. *Proc. Natl. Acad. Sci. U.S.A.*, 86: 3428-3432.

Cirino, G.; Peers, S.H., John, L.W. & Flower, R.J. (1989). A study of phospholipase A₂-induced oedema in rat paw. *Euro. J. Pharmacol.*, 166: 505-510.

Cirino, G.; Cicala, C.; Sorrentino, L.; Maiello, F.M. & Browning, J.L. (1994a). Human recombinant platelet phospholipase A₂ exacerbates poly-L-arginine induced rat paw oedema. *Inflammation*, 18: 59.

- Cirino, G.; Cicala, C.; Sorrentino, L.; Maiello, F.M. & Browning, J.L. (1994b). Recombinant secreted non pancreatic phospholipase A₂ induces a synovitis-like inflammation in the rat air pouch. *J. Rheumatol.*, 21: 824.
- Clark, M.A.; Chen, M.; Crooke, S.T. & Bomalaski, J.S. (1988). Tumor necrosis factor (cachetin) induces phospholipase A₂ activity and synthesis of phospholipase A₂ activating protein in endothelial cells. *Biochem. J.*, 250: 125.
- Coleman, J.W.; Holgate, S.T.; Church, M.K.; Godfrey, R.C. (1981). Immunoglobulin E decapeptide-induced 5-hydroxytryptamine release from rat peritoneal mast cells. *Biochem. J.*, 198: 615-619.
- Condrea, E.; Rapuano, B.E., Fletcher, J.E.; Yang, C.C. & Rosenberg, P. (1981). Effects of arginine modification of *Naja nigricollis* and *Naja naja atra* snake venom phospholipase A₂ on enzymatic activity, lethality, and anticoagulant action. *Toxicon*, 19: 721.
- Cupo, P.; Azevedo-Marques, M.M. & Hering, S.E. (1988). Clinical and laboratory features of South American rattlesnake (*Crotalus durissus terrificus*) envenomation in children. *Transactions of The Royal Society of Tropical Medicine and Hygiene*, 82: 924-929.
- Dale, M.M. & Foreman, J.C. (1989). Introduction of immunology and pathology of host defense mechanisms. In: *Textbook of Immunopharmacology*, Dale, M.M. & Foreman, J.C. (editores). Blackwell Scientific Publications (2nd ed.), pp. 1-16.
- Dale, M.M.; Foreman, J.C. (1992). INFLAMMATION In: *Textbook of immunopharmacology* Blackwell Scientific Publication Ltd, Oxford.
- Damerau, B.; Lege, L.; Oldigs, H.D. & Vogt, W. (1975). Histamine release, formation of prostaglandin-like activity (SRS-C) and mast cell degranulation by the direct lytic factor (DLF) and phospholipase A of cobra venom. *Naunyn Schmied. Arch Pharmacol.*, 287(2): 141-156.
- Davidson, F.F.; Dennis, E.A.; Powell, M. & Glenney, J.R. (1987). Inhibition of phospholipase A₂ by "lipocortins" and calpactins. An effect of binding to substrate phospholipids. *J. Biol. Chem.*, 262: 1698-1705.

- Davidson, F.F. & Dennis, E.A. (1990). Evolutionary relationships and implications for the regulation of phospholipase A₂ from snake venom to human secreted forms. *J. Mol. Evol.*, 31: 228-238.
- De Hass, G.H.; Postema, N.M.; Nieuwenhuizen, W. & Van Deenen, L.L.M. (1968). Purification and properties of phospholipase A from porcine pancreas. *Biochim. biophys. Acta.*, 159: 103-117.
- Dennis, E.A. (1994). Diversity of group types, regulation, and function of phospholipase A₂. *J. Biol. Chem.*, 269(18): 13057-13060.
- De Nucci, G.; Gryglewski, R.G.; Warner, T.D. & Vane, J.R. (1988). The receptor-mediated release of EDRF and PGI₂ from bovine aortic endothelial cells is coupled. *Proc. Natl. Acad. Sci. USA*, 85: 2334-2338.
- Diaz, C.; Gutierrez, J.M.; Lomonte, B. & Nunez, J. (1993). ρ -Bromophenacyl bromide modification of *Bothrops asper* myotoxin II, a lysine-49 phospholipase A₂, affects its pharmacological activities. *Toxicon*, 31: 1202-1206.
- Di Rosa, M.; Giroud, J.P. & Willoughby, D.A. (1971). Studies of the mediators of the acute inflammatory response induced in rats in different sites by carrageenin and turpentine. *J. Pathol.*, 104: 15-29.
- Doerfler, M.E.; Weiss, J.; Clark, J.D. & Elsbach P. (1994). Bacterial lipopolysaccharide primes human neutrophils for enhanced release of arachidonic acid and causes phosphorylation of a 85-KDa cytosolic phospholipase A₂. *J. Clin. Invest.*, 93(4): 1583-1591.
- Edelman, A.M.; Blumenthal, D.K. & Krebs, E.G. (1987). Protein serine/threonine kinases. *Ann. Rev. Biochem.*, 56: 567-613.
- Errasfa, M. & Russo-Marie, F. (1989). A purified lipocortin shares the anti-inflammatory effects of glucocorticosteroids *in vivo* in mice. *Br. J. Pharmacol.*, 97: 1051-1058.

Farsky, S.H.P.; Walber, J.; Costa-Cruz, M.; Curry, Y. & Teixeira, C.F.P. (1997). Leucocyte response induced by *Bothrops jararaca* crude venom: *in vivo* and *in vitro* studies. *Toxicon*, 35(2): 185-193.

Flores, C.A.; Zappellini, A. & Prado-Franceschi, J. (1993). Lipoxygenase-derived mediators may be involved in *in vivo* neutrophil migration induced by *Bothrops erythromelas* and *Bothrops alternatus* venoms. *Toxicon*, 31(12): 1551-1559.

Flower, R. J. & Blackwell, G.J. (1976). The importance of phospholipase A₂ in prostaglandin biosynthesis. *Biochem. Pharmacol.*, 25(3): 285-291.

Flower, R.J. (1988). Lipocortin and the mechanism of action of glucocorticoides. *Br. J. Pharmacol.*, 94: 987-1015.

Fonteh, A.N. & Chilton, F.H. (1993). Mobilization of different arachidonate pools and their roles in the generation of leukotrienes and free AA during immunologic activation of mast cells. *J. Immunol.*, 150: 563.

Fonteh, A.N., Bass, D.A., Marshall, L.A., Seeds, M., Samet, J.M. & Chilton, F.H. (1994). Evidence that secretory phospholipase A₂ plays a role in arachidonic acid release and eicosanoid biosynthesis by mast cells. *J. Immunol.* 152: 5438-5446.

Formela, L.J.; Galloway, S.W & Kingsnorth, A.N. (1995). Inflammatory mediators in acute pancreatitis. *Br. J. Surg.*, 82(1): 6-13.

Forster, S.; Ilderton, E.; Norris, J.; Summerly, R. & Yardley, H. (1985). Characterization and activity of phospholipase A₂ in normal human epidermis and in lesion-free epidermis of patients with psoriasis or eczema. *Br. J. Dermatol.*, 112: 135-147.

Fox, N.; Song, M.; Schrementi, J.; Sharp, J.D.; White, D.L.; Snyder, D.W.; Hartley, L.W.; Carlson, D.G.; Bach, N.J.; Dillard, R.D.; Draheim, S.E.; Bobbitt, J.L.; Fisher, L. & Mihelich, E.D. (1996). Transgenic model for the discovery of novel human secretory non-pancreatic phospholipase A₂ inhibitors. *Eur. J. Pharmacol.*, 308: 195-203.

Francioli, M. (1934). *Fermentforschung*, 14: 241-249.

Furchtgott, R.F.; Zawadzki, J.V. (1980). The obligatory role of endothelial cells in the relaxation of arterial smooth muscle by acetylcholine. *Nature*, 288: 373-376.

Garcia-Leme, J.M.D. (1989). Hormones and Inflammation. Ed. J. Garcia-Leme (CRC Press Inc.; Flórida).

Glaser, K.B.; Mobilio, D.; Chang, J.Y. & Senko, N. (1993). Phospholipase A₂ enzymes: regulation and inhibition. *TiPS*, 14(3): 92-98.

Glynn, L.E. (1978). Regeneration and repair. Em: Vane, J.R. & Ferreira, S.H. (editores). *Handbook of Experimental Pharmacology*, Vol. 50/1, Springer-Verlag, pp. 206-230.

Gutiérrez, J.M. & Lomonte B. (1995). Phospholipase A₂ myotoxins from *Bothrops* snake venoms. *Toxicon*, 33(11): 1405-1424.

Hanasaki, K. & Arita, H (1992). Purification and characterization of a high-affinity binding protein for pancreatic-type phospholipase A₂. *Biochim. Biophys. Acta*, 1127: 233-241.

Harris, J.B. & Johnson, M.A. (1978). Further observations on the pathological responses of rat skeletal muscle toxins isolated from the venom of the Australian tiger snake, *Notechis scutatus scutatus*. *Clin. Exp. Pharmac. Physiol.*, 5: 587-600.

Hazen, S.L.; Stuppy, R.J. & Gross, R.W. (1990). Purification and characterization of canine myocardial cytosolic phospholipase A₂. A calcium-independent phospholipase A₂ with absolute f1-2 regiospecificity for diacyl glicerophospholipids. *J. Biol. Chem.* 265(18): 10622-10630.

Heinrikison, R.L.; Krueger, E.T. & Keim, P.S. (1977). Amino acid sequence of phospholipase A₂ from the venom of *Crotalus adamanteus*. A new classification of phospholipase A based upon structural determinants. *J. Biol. Chem.*, 252: 4913.

- Hendon, R.A. & Fraenkel-Conrat, H. (1971). Biological role of the two components of crototoxin. *Proc. Natl. Acad. Sci. (Wash)*, **68**: 1560-1563.
- Hidi, R.; Vargaftig, B.B. & Touqui, L. (1993). Increased synthesis and secretion of a 14 KDa phospholipase A₂ by guinea pig alveolar macrophages. *J. Immunol.*, **151**: 5613-5623
- Homsi-Brandeburgo, M.I.; Queiroz, L.S.; Santo-Neto, H.; Rodrigues-Simioni, L. & Giglio, J.R. (1988). Fractionation of *Bothrops Jararacussu* snake venom : partial chemical characterization and biological activity of bothropstoxin. *Toxicon*, **26**(7): 615-627.
- Horton, E.W. (1963). Action of prostaglandin E₁ on tissues which respond to bradykinin. *Nature* **200**: 892-893.
- Ignarro, L.J. (1989). Biological actions and properties of endothelium derived nitric oxide formed and released from artery and vein. *Circ. Res.*, **64**: 1-21.
- Kakutani, M.; Murakami, M.; Okamoto, H.; Kudo, I. & Inoue, K. (1994). Role of type II phospholipase A₂ in the inflammatory process of carrageenan-induced pleurisy in rats. *FEBS Letters*, **339**: 76-78.
- Kampschmidt, R.F. & Upchurch, H.F. (1980). Rate of clearance of circulating leukocytic endogenous mediator in the rat. *Proc. Soc. Exp. Biol. Med.*, **164**: 537-539.
- Kramer, R.M.; Hession C.; Johansen, B.; Hayes, G.; McGraw, P.; Chow, P.E.; Tizard, R. & Pepinsky, R.B. (1989). Structure and properties of a human nonpancreatic phospholipase A₂. *J. Biol. Chem.*, **264**: 5768.
- Lam, B.K.; Yang, C.Y. & Wong, P.Y.K. (1990). Phospholipase A₂ as leukotriene B₄ secretagogue for human polymorphonuclear leukocytes. *Adv. Exp. Med. Biol.*, **275**: 183-191.

- Lambeau, G.; Barhanin, J.; Schweitz, H.; Qar, J. & Lazdunski, M. (1989). Identification and properties of very high affinity brain membrane-binding sites for a neurotoxic phospholipase from the taipan venom. *J. Biol. Chem.*, 264(19): 11503-11510.
- Lambeau, G.; Schmid-Alliana, A., Lazdunski, M. & Barhanin, J. (1990). Identification and purification of a very high affinity binding protein for toxic phospholipase A₂ in skeletal muscle. *J. Biol. Chem.*, 265(16): 9526-9532.
- Lambeau, G.; Lazdunski, M. & Barhanin, J. (1991a). Properties of receptors for neurotoxic phospholipase A₂ in different tissues. *Neurochem. Res.*, 16: 651-658.
- Lambeau, G.; Barhanin, J. & Lazdunski, M. (1991b). Identification of different receptor types for toxic phospholipase A₂ in rabbit skeletal muscle. *FEBS Lett.*, 293: 29-33.
- Lambeau, G.; Ancian, P.; Barhanin, J. & Lazdunski, M. (1994). Cloning and expression of a membrane receptor for secretory phospholipase A₂. *J. Biol. Chem.*, 269(3): 1575-1578.
- Landucci, E.C.T. (1992). Purificação e atividade biológica da crotosina e suas sub-unidades, crotapotina e fosfolipase A₂ sobre agregação de plaquetas humanas. *Dissertação de Mestrado apresentada à Faculdade de Ciências Médicas - UNICAMP*.
- Landucci, E.C.T.; Antunes, E.; Donato, J.L., Marangoni, S.; Oliveira, B.; Cirino, G. & de Nucci, G. (1995). Inhibition of carrageenin-induced rat paw oedema by crotapotin, a polypeptide complexed with phospholipase A₂. *Br. J. Pharmacol.*, 114: 578-583.
- Landucci, E.C.T.; Castro, R.C.; Pereira, M.F.; Cintra, A.C.O.; Giglio, J.R.; Maragoni, S.; Oliveira, B.; Cirino, G.; Antunes, E. & de Nucci, G. (1998). Mast cell degranulation induced by two phospholipase A₂ homologues: dissociation between enzymatic and biological activities. *Euro. J. Pharmacol.*, 343: 257-263.
- Lloret, S. & Moreno, J.J. (1993). Oedema formation and degranulation of mast cells by phospholipase A₂ purified from porcine pancreas and snake venoms. *Toxicon*, 31(8): 949-956

- Lloret, S. & Moreno, J.J. (1995). Ca^{2+} influx, phosphoinositide hydrolysis, and histamine release induced by lysophosphatidylserine in mast cells. *J. Cell. Physiol.*, **165**: 89-95.
- Lobo, I.B. & Hoult, J.R.S. (1994). Groups I, II and III extracellular phospholipases A₂: Selective inhibition of group II enzymes by indomethacin but not other NSAIDs. *Agents Actions*, **41**: 111-113.
- Lôbo de Araújo, A. & Radvanyi, F. (1987). Determination of phospholipase A₂ activity by a colorimetric assay using a pH indicator. *Toxicon*, **25(11)**: 1181-1188.
- Lomonte, B.; Tarkowski, A. & Hanson, L.Å. (1993). Host response to *Bothrops asper* snake venom: analysis of edema formation, inflammatory cells, and cytokine release in a mouse model. *Inflammation*, **17**: 93-105.
- Lomonte, B.; Tarkowski, A.; Bagge, U. & Hanson, L. Å. (1994a). Neutralization of cytolytic and myotoxic activities of phospholipases A₂ from *Bothrops asper* snake venom by glycosaminoglycans of the heparin/heparan sulfate family. *Biochem. Pharmacol.*, **47(9)**: 1509-1518.
- Lomonte, B.; Moreno, E.; Tarkowski, A.; Hanson, L. Å. & Maccarana, M. (1994b). Neutralizing interaction between heparins and myotoxin II, a lysine 49 phospholipase A₂ from *Bothrops asper* snake venom. *J. Biol. Chem.*, **269(47)**: 29867-29873.
- Lyons-Giordano, B.; Davis, G.L.; Galbraith, W.; Pratta, M.A. and Arner, E.C. (1989). Interleukin-1 β stimulates phospholipase A₂ mRNA synthesis in rabbit articular chondrocytes. *Biochem. Biophys. Res. Commun.*, **164**: 488.
- Mackay, C.R. & Imhof, B.A. (1993). Cell adhesion in the immune system. *Immunology Today*, vol. **14(3)**: 99.
- Mancuso, L.C.; Correa, M.M.; Vieira, C.A.; Cunha, O.A.B.; Lachat, J.J.; Selistre de Araujo, H.S.; Ownby, C.L. & Giglio, J.R. (1995). Fractionation of *Bothrops pirajai* snake venom: isolation and characterization of piratoxin-I, a new myotoxic protein. *Toxicon*, **33(5)**: 615-626.

- Marinari, L.R.; Berkenkopf, J.W. & Weichman. (1991). Characterization of phospholipase A₂ activity in rat RPAR-induced pleurisy. *Agents and Actions*, 34(1/2): 97-99.
- Marshall, L.A. & Roshak A. (1993). Co-existence of two biochemically distinct phospholipase A₂ activities in human platelet, monocyte and neutrophil. *Biochem. Cell Biol.*, 71: 331-339.
- Martins, M.A.; Pasquale, C.P.; Silva, P.M.R.; Cordeiro, R.S.B. & Vargafitg, B.B. (1990). Eosinophil accumulation in rat pleural cavity after mast cell stimulation with compound 48/80 involves protein synthesis and is selectively suppressed by dexamethasone. *Int. Arch. Allergy Appl. Immunol.*, 92: 416-424.
- Mietto, L.; Battistella, A.; Toffano, G. & Bruni, A. (1984). Modulation of lysophosphatidylserine-dependent histamine release. *Agents Actions*, 14: 376-378.
- Miyake, A.; Yamamoto, H.; Kubota, E.; Hamaguchi, K.; Kouda, K.; Honda, K. & Kawashima, H. (1993). Suppression of inflammatory responses to 12-O-tetradecanoyl-phorbol-13-acetate and carrageenin by YM-26734, a selective inhibitor of extracellular group II phospholipase A₂. *Br. J. Pharmacol.*, 110: 447-453.
- Mizushima, H.; Kudo, I.; Horigome, K.; Murakami, M.; Hayakawa, M.; Kim, D.K.; Kondo, E.; Tomita, M. & Inoue, K. (1989). Purification of rabbit platelet secretory phospholipase A₂ and its characteristics. *J. Biochem.*, 105: 520.
- Melo, P.A.; Homsi-Brandeburgo, M.I.; Giglio, J.R. & Suarez-Kurtz, G. (1993). Antagonism of the myotoxic effect of *Bothrops jararacussu* venom and bothropstoxin by polyanions. *Toxicon*, 31: 285-291.
- Moreno, J.J.; Ferrer, X.; Ortega, E. & Carganico, G. (1992). PLA₂-induced oedema in rat skin and histamine release in rat mast cells. Evidence for involvement of lysophospholipids in the mechanism of action. *Agents Actions*, 36: 258-263.
- Morgan, D.W.; Anderson, C.M. & Meyers, K.P. (1993). Recombinant human type phospholipase A₂ lacks edema producing activity in rats. *Eur. J. Pharmacol.*, 235: 45.

- Murakami, M., Kudo, I., Nakamura, H., Yokoyama, Y., Mori, H. & Inoue, K. (1990). Exacerbation of rat adjuvant arthritis by intradermal injection of purified 14 KDa group II phospholipase A₂. *FEBS Lett.*, **268**: 113-115.
- Murakami, M., Kudo, I. & Inoue, K. (1991). Eicosanoid generation from antigen-primed mast cell by extracellular 14-KDa group II phospholipase A₂. *FEBS Lett.*, **294**: 247
- Murakami, M.; Kudo, I.; Umeda, M.; Matsuzawa A.; Takeda, M.; Komada, M.; Fujimori, Y.; Takahashi, K. & Inoue, K. (1992a). Detection of three distinct phospholipases A₂ in cultured mast cells. *J. Biochem.*, **111**: 175-185.
- Murakami, M.; Kudo, I.; Suwa, Y. & Inoue, K. (1992b). Release of 14-KDa group phospholipase A₂ from activated mast cells and its possible involvement in the regulation of the degranulation process. *Eur. J. Biochem.*, **209**: 257.
- Murakami, M.; Hara, N.; Kudo, I. & Inoue, K. (1993). Triggering of degranulation in mast cells by exogenous type II Phospholipase A₂. *J. Immunol.*, **151** (10): 5675-5684.
- Nagai, H.; Sakamoto, T.; Kondo, M.; Miura, T.; Inagaki, N. & Koda, A. (1991). Extracellular Phospholipase A₂ and histamine release from rat peritoneal mast cells. *Int. Arch. Allergy Appl. Immunol.*, **96**: 311-316.
- Nakajima, M.; Hanasaki, K.; Ueda, M. & Arita, H. (1992). Effect of pancreatic type of phospholipase A₂ on isolated porcine cerebral arteries via its specific binding sites. *FEBS Lett.*, **309**: 261-264.
- Nakano, T.; Ohara, O.; Ternoka, H. & Arita, H. (1990). Group II phospholipase A₂ mRNA synthesis stimulated by two distinct mechanisms in rat smooth muscle cells. *FEBS Lett.*, **261**: 171.
- Nishida, S.; Terashima, M.; Schimazu, T.; Takasaki, C. & Tamiya, N. (1985). Isolation of two Phospholipase A₂ from the venom of an Australian Elapid Snake (*Pseudoechis Australis*). *Toxicon*, **23**(1): 73-85.

- Northup, J.K.; Valentine-Braun, K.A.; Johnson, L.K., Severson, D.L. & Hollenberg, M.D. (1988). Evaluation of the anti-inflammatory and phospholipase-inhibitory activity of calpastin II/lipocortin I. *J. Clin. Invest.*, 82: 1347-1352.
- Oertel, H. & Kaliner, M. (1981). The biologic activity of mast cell granules. III. Purification of inflammatory factors of anaphylaxis (IF-A) responsible for causing late-phase reactions. *J. Immunol.*, 127: 1398-1402.
- Ohsaka, A. (1979). Hemorrhagic necrotizing and edema formation effects in snake venom. *Handbook of Experimental Pharmacology*, Vol. 52, *Snake Venoms*, pp.480 (Lee, C.Y., Ed.). Berlin: Springer.
- Ohuchi, K.; Wabanabe, M.; Numajiri, N. & Tsurufuji, S. (1982). Phospholipase A₂ activity in carrageenin-induced inflammatory tissue of rats. *Biochem. Pharmacol.*, 31(18): 2993-2998.
- Palmer, R.M.J.; Ferrige, A.G. & Moncada, S. (1987). Nitric oxide release accounts for the biological activity of endothelium-derived relaxing factor. *Nature*, 327: 524-526.
- Parente,L.; Becherucci, C.; Parretti, M.; Solito, E.; Mugridge, K.G.; Galeotti, C.; Raugei, G.; Melli, M. & Sanso,M. (1990). Are the lipocortins the second messengers of the anti-inflammatory action of glucocorticoids? In: *Cytokines and Lipocortins in Inflammation and Differentiation* ed. Melli, M. & Parente, L. pp. 55-68. New York: Wiley-Liss, Inc.
- Paton, W.D.M. (1951). Compound 48/80: A potent histamine liberator . *Br. J. Pharmacol.*, 6: 499-508.
- Payá, M.; Terencio, M.C.; Ferrández, M.L. & Alcaraz, M.J. (1995). Involvement of secretory phospholipase A₂ activity in the zimosan rat air pouch model of inflammation. *Brit. J. Pharmacol.*, 117: 1773-1779.
- Pedersen, J.Z.; Lomonte, B.; Massoud, R.; Gubensek, F.; Gutiérrez, J.M. & Rufini, S. (1995). Autocatalytic acylation of phospholipase-like myotoxins. *Biochem.*, 34: 4670-4675.

Pereira, M.F.; Novello, J.C.; Cintra, A.C.; Giglio, J.R.; Landucci, E.T.; Oliveira, B. & Marangoni, S. (1998). The amino acid sequence of bothropstoxin-II, an Asp-49 myotoxin from *Bothrops jararacussu* (Jararacussu) venom with low phospholipase A₂ activity. *J. Protein Chem.*, 17(4): 381-386.

Perretti, M.; Becherucci, C.; Mugridge, K.G.; Solito, E.; Silvestri, S. & Parente, L. (1991). A novel anti-inflammatory peptide from human lipocortin 5. *Br. J. Pharmacol.*, 103: 1327-1332.

Peterson, G.L. (1977). A simplification of the protein assay method of Lowry *et al.* which is more generally applicable. *Analitical Bioch.* 83: 346-356.

Pruzanski, W.; Vada, P.; Stefanski, E & Urowitz, M.B. (1985). Activity of phospholipase A₂ in sera and synovial fluids in arthritis. *J. Rheumatol.*, 12: 211.

Pruzanski, W.; Vadas, P. & Fornasier V. (1986). Inflammatory effect of intradermal administration of soluble phospholipase A₂ in rabbits. *J. Invest. Dermatol.*, 86: 380-383.

Rampart, M.; De Smet, W.; Fiers, W. & Herman, A.G. (1989). Inflammatory properties of recombinant tumor necrosis factor in rabbit skin in vivo. *J. Exp. Mad.*, 169: 2227-2232.

Rang, H.P.; Dale, M.M. (1993). Hormônios locais, inflamação e alergia. Em: *Pharmacology, Longman Group UK Limited*.

Renetseder, R.; Brunie, S.; Dijkstra, B.W.; Drenth, J. & Sigler, P.B. (1985). A comparison of the crystal struture of phospholipase A₂ from bovine pancreas and *Crotalus atrox* venom. *J. Biol. Chem.*, 260: 11627.

Renetseder, R.; Dijkstra, B.W.; Huizinga, K.; Kalk, K.H. & Drenth, J. (1988). Crystal structure of bovine pancreatic phospholipase A₂ covalently inhibited by ρ -bromophenacyl bromide. *J. molec. Biol.*, 200: 180-188.

Richards, K.L. & McCullough, J. (1984). A modified microchamber method for chemotaxis and chemokinesis. *Immunol. Commun.*, 13: 49-62.

Rosenberg, P. (1979). Pharmacology of phospholipase A₂ from snake venoms. *Handb. Exp. Pharmacol.*, 52: 403.

Santana, A.; Hyslop, S.; Antunes, E.; Mariano, M.; Bakhle, Y.S. & De Nucci. (1993). Inflammatory responses induced by poly-L-arginine in rats lungs *in vivo*. *Agents Actions*, 39: 104-110.

Sartipy, P.; Johansen, B.; Camejo, G.; Rosengren, B.; Bondjers, G. & Hurt-Camejo, E. (1996). Binding of human phospholipase A₂ type II to proteoglycans: Differential of glycosaminoglycans on enzyme activity. *J. Biol. Chem.*, 271: 26307-26314.

Schagger, H.; Jagow, G. (1987). Tricine-sodium dodecyl sulfate polyacrylamide gel electrophoresis for the separation of proteins in the range from 1 to 100 kDa. *Anal. Biochem.*, 166: 368-379.

Schevitz, R.W.; Bach, N.J.; Carlson, D.G.; Chirgadze, N.Y.; Clawson, D.K.; Dillard, R.D.; Draheim, S.E.; Hartley, L.W.; Jones, N.D.; Mihelich, E.D.; Olkowski, J.L.; Snyder, D.W.; Sommers, C. & Wery, J.-P. (1995). Structure-based design of the first potent and selective inhibitor of human non-pancreatic secretory phospholipase A₂. *Nature Struct. Biol.*, 2: 458.

Schleimer, R.P.; Claman, H.N. & Oronsky, A. (1989). Anti-inflammatory Steroid Action. *Basic and Clinical Aspect. San Diego: Academic Press*.

Schwartz, L.B. (1987). Mediators of human mast cells and human mast cell subsets. *Ann. Allergy*, 58: 226.

Schwartz, L.B. (1994). Mast cells: function and contents. *Curr. Opinion Immunol.* 6: 91-97

Scilhamer, J.J.; Pruzanski, W.; Vadas, P.; Plant, S.; Miller, J.A.; Kloss, J. & Johnson, L.K. (1989). Cloning and recombinant expression of phospholipase A₂ present in rheumatoid arthritic synovial fluid. *J. Biol. Chem.*, 264: 5335.

Scott, D.L.; White, S.P.; Otwinowski, Z.; Yuan, W.; Gelb, M.H. & Sigler, P.B. (1990). Interfacial catalysis: the mechanism of phospholipase A₂. *Science*, 250: 1541-1546.

Sedgwick, A.D. & Willoughby, D.A. (1985). Initiation of the inflammatory response and its prevention. Em : Banta, I.L.; Bray, M.A. & Parnham, M.J. (editores). *Handbook of Inflammation, Vol. 5, Elsevier, pp. 27-47.*

Seilhamer, J.J.; Pruzanski, W.; Vadas, P.; Plant, S.; Miller, J.A.; Kloss, J. & Johnson, L.K. (1989). Cloning and recombinant expression of phospholipase A₂ present in rheumatoid arthritic synovial fluid. *J. Biol. Chem., 264: 5335.*

Sháafi, R.I.; Naccache, P.H.; Molski, T.F.P.; Borgeat, P. & Goetzl, E.J. (1981). Cellular regulatory role of leukotriene B₄: its effects on cation homeostasis in rabbit neutrophils. *J. Cell. Physiol., 108: 401.*

Simionescu, N.; Hatteanu, C.; Antohe, F. & Simionescu, M. (1982). Endothelial cell receptors for histamine. *Ann. N. Y. Acad. Sci., 401: 132-149.*

Slotta, K.H.; Fraenkel-Conrat, H.L. (1938). Schlangengifte, III: Mitteilung Reinigung und krystallization des klapperschlangengiftes. *Ber. Dtch. Chem. Ges., 71: 1076-1081.*

Smith, C.W.; Rothelein, R.; Hughes, B.J.; Mariscalco, M.M.; Schmalstiege, F.C. & Aderson, D.C. (1988). Recognition of endothelium determinant for CD 18-dependent neutrophil adherence and transendothelium migration. *J. Clin. Invest., 82: 1746.*

Smith, C.W.; Kishimoto, T.K.; Abbass, O.; Rothelein, R.; McIntere, L.V.; Butcher, E. & Anderson, D.C. (1991). Chemotactic factor regulated lectin adhesion molecule-1 (LECAM-1) dependent neutrophil adhesion to cytokine-stimulated endothelial cells *in vitro*. *J. Clin. Invest., 87: 609.*

Smith, M.J.H.; Ford-Hutchinson, A.W. & Bray, M.A. (1988). Leukotriene B : A potencial mediators of inflammation. *J. Pharm. Pharmacol., 32: 517-518.*

Spector, W.G. & Willoughby, D.A. (1959). The demonstration of the role of mediators in turpentine pleurisy in rats by experimental suppression of the inflammatory changes. *J. Pathol. Bact., 77: 1-17.*

- Tan, N. H. & Tan, C.S. (1988). Acidimetric assay for phospholipase A using egg yolk suspension as substrate. *Anal. Biochem.*, 170: 282-288.
- Tanaka, K.; Kato, T.; Koichi, M. & Yoshida, T. (1993). Atiinflammatory action of thielocin A1 β , a group II phospholipase A₂ specific inhibitor, in rat carrageenan-induced pleurisy. *Inflammation*, 17(2): 107-119.
- Tateson, J.E.; Moncada, S. & Vane, J.R. (1977). Effects of prostacyclin (PGX) on cyclic AMP concentrations in human platelets. *Prostaglandins*, 13: 389-397.
- Tesson, F.; Ruffié, C.; Hidi, R.; Silva, P.M.R., Vazeux, G.; Vargaftig, B.B. & Bon, C. (1993). Cell-associated and soluble phospholipases A₂ increase during carrageenan and zymosan-induced pleurisy in rat. *Eur. J. Pharmacol.*, 248: 27-32.
- Touqui, L.; Herpin-Richard, N. & Gene, R.M. (1994). Excretion of platelet activating factor-acetylhydrolase and phospholipase A₂ into nasal fluids after allergeni challenge: possible role in the regulation of platelet activating factor release . *J. Allergy Clin. Immunol.*, 94: 109-119.
- Traynor, J.R. & Authi, K.S. (1981). Phospholipase A₂ activity in lysosomal origin secreted by polymorphonuclear leukocytes during phagocytosis or on treatment with calcium. *Biochim. Biophys. Acta*, 665: 571-577.
- Vadas, P. & Hay, J.B. (1983). Involvement of circulating phospholipase A₂ in the pathogenesis of the hemodynamic changes in endotoxin shock. *J. Physiol. Pharmacol.*, 61: 561.
- Vadas, P.; Pruzanski, W. & Stefanski, E. (1985). Characterization of extracellular phopholipase A₂ in human synovial fluid. *Life Sci.*, 36: 579.
- Vadas, P. & Pruzanski, W. (1986). Role of secretory phospholipase A₂ in the pathobiology of disease. *Lab. Invest.*, 55: 391-404.
- Vadas, P.; Pruzanski, W. & Stefanski, E. (1988). Extracellular phospholipase A₂: causative agent in circulatory collapse of septic shock ? *Agents Actions*, 24: 320.

- Vadas, P.; Pruzanski, W.; Kim, J. & Fornasier, V. (1989). The proinflammatory effect of intra-articular injection of soluble human and venom phospholipase A₂. *Am. J. Pathol.*, **134**(4): 807-811.
- Vadas, P.; Pruzanski, W.; Stefanski, E.; Ellies, G.L., Aubin, J.E., Sos, A. & Melcher, A. (1991). Extracellular phospholipase A₂ secretion is a common effector pathway of interleukin-1 and tumour necrosis factor action. *Immunol. Lett.*, **28**: 187.
- Vadas, P.; Browning, J.; Edelson, J. & Pruzanski, W. (1993). Extracellular phospholipase A₂ expression and inflammation: the relationship with associated disease state. *J. Lipid Mediat.* **8**: 1.
- Van Den Bosh, H. (1980). Intracellular Phospholipases A. *Biochim. Biophys. Acta*, **604**: 191-246.
- Vishwanath, B.S.; Kini, R.M. & Gowda, T.V. (1987). Characterization of three edema-inducing phospholipase A₂ enzymes from Habu (*Trimeresurus flavoviridis*) venom and their interaction with the alkaloid aristolochic acid. *Toxicon*, **25**: 501-515.
- Vishwanath, B.S.; Fawzy, A.A. & Franson, R.C. (1988). Edema-inducing activity of phospholipase A₂ purified from human synovial fluid and inhibition by aristolochic acid. *Inflammation*, **12**(6): 549-561.
- Volwerk, J.J.; Pietersen, W.A. & de Haas, G.H. (1974). Histidine at the active site of phospholipase A₂. *Biochemistry* **13**: 1446.
- Wasserman, S.I., Goetzl, E.J., Austen, K.F. (1974). Preformed eosinophil chemotactic factor f anaphylaxis (ECF-A). *J. Immunol.*, **112**: 351-358.
- Wedmore, C.V. & Williams, T.J. (1981). Platelet-activating factor (PAF), a secretory product of polymorphonuclear leucocytes, increases vascular permeability in rabbit skin. *Br. J. Pharmacol.*, **74**: 916-917.

Williams, T.J. & Morley, J. (1973). Prostaglandins as potentiators of increased vascular permeability in inflammation. *Nature*, 246: 215-217.

Williams, T.J. & Peck, M.J. (1977). Role of prostaglandin-mediated vasodilatation in inflammation. *Nature*, 270: 530-532.

Williams, T.J. (1982). Vasoactive intestinal polypeptide is more potent than prostaglandin E₂ as a vasodilator and oedema potentiator in rabbit skin. *Br. J. Pharmacol.*, 77: 505-509.

Wilkinson, P.C.; Dale, M.M. & Foreman, J.C. (1984). Cellular accumulation and inflammation. *Immunopharmacology Blackwell Scientific Publication*, pp. 217-232.

Wittcoff, H. (1951). The Phosphatides. *Ed. Reinhold Publishing Corporation (New York)*, pp. 99-115.

Yamaguchi, Y.; Shimohigashi, Y.; Chiwata, T.; Tani, A.; Chijiwa, T.; Lomonte, B. & Ohno, M. (1997). Lys-49-phospholipase A₂ as active enzyme for β -arachidonoyl phospholipid bilayer membranes. *Biochem. Mol. Biol. Intern.*, 43(1): 19-26.

Yang, C.C. (1994). Structure function relationship of phospholipase A₂ from snake venoms. *J. Toxicol. - Toxin Reviews*, 13(2): 125-177.

Zhao, H.; Tang, L.; Wang, X.; Zhou, Y.; Lin, Z. (1998). Structure of a snake venom phospholipase A₂ modified by ρ -bromophenacyl bromide. *Toxicon*, 36(6): 875-886.